

B-N-H

V 5771

1938

B₃N₃H₆ (r), (CH₃)₂NH (r), B₂NH₇ (r,

Bauer S.H.

J. Am. Chem. Soc., 1938, 60, 524-30

J



BNH₇

1952

V 4976

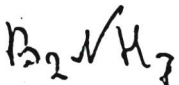


Hedberg K., Stosick A.J.

J. Am. Chem. Soc., 1952, 74, 954-8

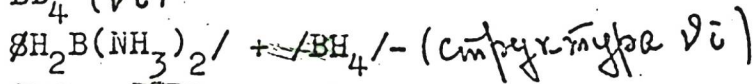
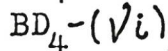
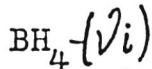
An electron-diffraction investigation of
the structure of the aminodiboranes $(\text{CH}_3)_2$
 NB_2H_5 and $\text{H}_2\text{NB}_2\text{H}_5$.

CA., 1952, 5379e



V4306

1958



Taylor R.C., Schulte D.R., Emery A.R.

J. Amer. Chem. Soc., 1958, 80, N 1, 27-30

Raman spectrascopy in liquid ammonia solutions.

The spectrum of the borohydride ion and evidence for the constitution of the diammoniate of diborane.

PJX., 1958, 49330

J

1960

V 4995

Vi ($B_3N_3H_3D_3$, $B_3N_3Cl_3D_3$)

Watanabe H., Totani T., Nakagawa T., Kubo M.
Spectrochim. acta, 1960, 16, N 9, 1076-82

Инфракрасные спектры поглощения тридейтерио-
борадоля и В - трихлор-Н- тридейтериоборадола.

РХ., 1961, 17Б107

J

$N_2H_4 \cdot BH_3$

Goubeau J.
Richer E.

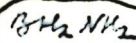
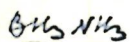
1961

U.K. comp

B99 - 7064 - 1

"Z. Anorg. Allg. Chem."
1961, 310, 123-142.

1964.



Koffmann R.

J. Chem. Phys., 1964, 40, 2474 (N:9).

Разбивка молекул Хоккенау. III.

Заряды Составлены для π азота.

Будет разбивка молекул для молекул
формулы составлены для π азота (BH_3NH_3 ,
 BH_2NH_2 , $\text{B}_3\text{N}_3\text{H}_6$ и т.д.), а также
формула близк. формул. Составлены
 $\text{BH}_3\text{NH}_3 \sim 1.5$ един/моль в азотово-
ном BH_3NH_3 () ~10 един/моль
(см. BH_3NH_3) III

$R_3N\text{BX}_3$

Robert C. Taylor

1964

Advan. Chem. Ser. 42 59

$R \equiv H, D, CH_3$

$X \equiv H, D, F, Cl, Br$

Vibrational frequencies
assignments and force constant
for some compounds containing
boron-nitrogen dative bonds.

III $H_3N\text{BH}_3$

аминобо-
рона

4 Д170. Заторможенное вращение в аминоборонах.
Dawson John W., Niedenzu Kurt. Hindered
rotation in aminoboranes. «Army Sci. Conf. Proc., 1964.
Vol. 1.» Washington, D. C., Dept Army, 1965, 251—260
(англ.)

1965

Обобщены эксперим. данные по ИК- и комбинационным спектрам и спектрам ЯМР различных аминоборонов, содержащих группировку $\text{N}=\text{B}$. Путем приближенного расчета с помощью правила Горди проведено отнесение полосы вал. кол. $\text{N}=\text{B}$ -связи в ряду аминоборонов. Отмечено, что весьма заметные вариации частоты вал. кол. $\text{N}=\text{B}$ -связи с различными функциональными заместителями свидетельствуют об участии неподеленной пары электронов азота при образовании связи $\text{N}=\text{B}$. Данные свидетельствуют также о заторможенном вращении вокруг двойной связи $\text{N}=\text{B}$ и о наличии *цис*-, *транс*-изомеров некоторых аминоборонов.

М. Алиев

ф. 1967. 48

1966

33171x Electronic structure (L.C.A.O method) of polymethyl derivatives of borazine. Jean Francois Labarre, Marcel Graffeuil, and Maurice Pasdesoups (Dept. Chim. Inorg., Toulouse, France). *J. Chim. Phys.* 63(9), 1236-41(1966)(Fr). An uv-consistent L.C.A.O. calcn. of the electronic structure of borazine and five polymethylborazines is carried out. The perturbated B and N Coulomb integrals are chosen in order to estimate correctly the first uv vertical transition ($^1A_{1g} \rightarrow ^1A'_{2g}$). The π character of the BN bond is important, but the actual $(\sigma + \pi)$ charge transfer along this bond is small, the N atom obtaining a neg. charge in spite of the L.C.A.O. calcn. results. From this point of view, borazine seems very similar to benzene, and the exptl. observed magnetic rotation excess is in agreement with a conjugated borazinic structure. Moreover, the effective charge caused by an unsubstituted B atom is remarkably const., no matter what compd. is investigated. This correlates perhaps with the invariance of ν (B-H) in ir spectroscopy.

Bernard Rubin

C.A. 196

7.66.8

V 5975

1967

$B_3N_3O_3H_3$, $B_3N_3H_6$, $B_3N_3O_3$ (V, cuto. wcr.)

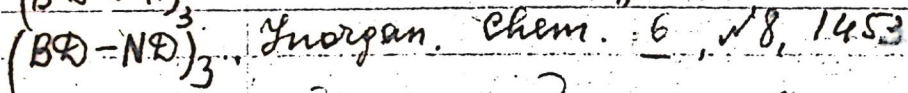
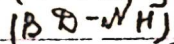
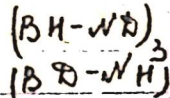
Karthika V. B., Krishnamachari S.L.N.G.,
Subramaniam C. R.,

J. Molecul. Spectrosc., 1967, 23, 149-
157

PREK, 1968, 115176

10

1967



Inorgan. Chem. " 6 , № 8, 1453

Коисследование энергии
сопротивления

B99-5865-12

III $B_3N_3H_6$

$H_3B_3N_3D_3$

Silberman E.

1967

"Spectrochim acta" A23, N7, 2021

Комбинации производных
боразона. I. Полосы комбинаций
боразона и $N=5$ фрагмента боразона.

III $H_3B_3N_3H_3$

$\text{BH}_2-\text{NH}-\text{NH}-\text{BH}_2$

V-6329

1968

$\text{BH}_2-\text{NH}-\text{NH}-\text{BH}_2$

6 Д334. Анализ ИК-спектра гидразиндиборена.
Belinski Colette, Dutergue Jean, Lalaïs
Kéraly François-Xavier. Analyse du spectre
infrarouge de l'hydrazine diborène. «С. г. Acad. sci.»,
1968, 267, № 20, B1087—B1089 (франц.)

Получен ИК-спектр ($4000-300 \text{ см}^{-1}$) гидразиндиборена. Отмечена полярность связи N—H (большая интенсивность $\nu(\text{NH}) = 3210 \text{ см}^{-1}$). Значения частот вал. кол. $\nu(\text{BH})$ (2470 и 2450 см^{-1}) позволили высказать предположение о преобладании групп $\rightarrow \text{BH}_2$ и сделать вывод о мономерном характере соединения. Даны интерпретация наблюденных полос. Библ. 11.

А. Белозеров

09.1969. 69

BH₂NHNHBH₂

V-6329

1968

42481h Infrared spectrum of 1,2-diborylhydrazine. Belinski,
Colette, Duterque, Jean; Lalau-Keraly, Francois X. (Office
Nat. Etudes Rech. Aerosp., Chatillon-sous-Bagneux, Fr.). C.
R. Acad. Sci., Paris, Ser. A,B 1968, 267B (20), 1087-9 (Fr).
The ir spectrum (600-3800 cm.⁻¹) of BH₂NHNHBH₂, formed on
heating hydrazine monoborane under vacuum in boiling C₆H₆
(J. Goubeau and E. Ricker, 1961) suggests that the compd. is
monomeric and has an inorg. butadiene-type structure.

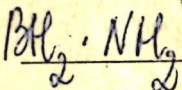
FBJF

M.K. mkr/p

copywriting

C.A. 1969. 70.10

1969

 ρ_0 v_0

(128947x) Electronic structure of aminoborane: a comparison between nonempirical and semi-empirical theoretical methods. Armstrong, David Reed; Duke, B. J.; Perkins, Peter G. (Univ. Newcastle-upon-Tyne, Newcastle-upon-Tyne, Engl.). *J. Chem. Soc. A* 1969, (17), 2566-72 (Eng). The electronic structure of aminoborane, $\text{BH}_2 \cdot \text{NH}_2$, has been calcd. ab initio by use of extended basis sets of Gaussian-type orbitals. The binding energy (corrected for correlation) is 550 kcal./mole, and the energy of rotation about the B-N bond is kcal./mole. The B-N bond is polar in the sense $\text{B}^+ - \text{N}^-$, and the calcd. dipole moment of the mol. is 2.071 D. The highest bonding orbital is of σ -type with an energy of -12.0 ev. Extended Hueckel calcns. on the same compd. give orbital energies which agree fairly well with those above, while the charge distribution can be reproduced by the CNDO [complete neglect of differential overlap] method. However, neither of the semi-empirical techniques yield good overall agreement with the ab initio calcns.

RCGF

C.A. 1969: 71-26

1969

H₂B · NH₂

11 Б44. Электронное строение аминоборана: сравнение между неэмпирическими и полуэмпирическими теоретическими методами. Armstrong D. R., Duke B. J., Perkins P. G. Electronic structure of aminoborane: a comparison between nonempirical and semiempirical theoretical methods. «J. Chem. Soc.», 1969, A, № 17, 2566—2572 (англ.)

Проведено сравнительное изучение электронного строения аминоборана H₂B-NH₂ в рамках неэмпирического и полуэмпирических методов. Неэмпирический расчет MO ЛКАО ССП (использованы наборы из 26, 40 и 48 гауссовых функций и учтены корреляционные поправки) приводит к выводу о значительной кратности

X. 1970. 11

связи B—N (барьер вращения около 41 ккал/моль) и ее полярности $B-\overset{+}{N}$ (в основном за счет атомов H), противоречащей обычным классическим представлениям о полярности $\overset{-}{B}-\overset{+}{N}$. Верхняя занятая MO (энергия около —12,0 эв) имеет σ -симметрию, что требует пересмотра выводов, полученных в π -электронном приближении. Полуэмпирические расчеты (несколько вариантов расширенного метода Хюккеля и метода ССП—МО в приближении полного пренебрежения дифференциальным перекрыванием) хотя и передают отдельные черты строения аминоборана, однако в целом не дают хорошего согласия с результатами неэмпирического расчета.

Е. М. Шусторович

1970



134084w Electronic structure of dimeric aminoborane,
 $(NH_2BH_2)_2$. Armstrong, David Reed; Perkins, Peter G. (Dep.
Pure Appl. Chem., Univ. Strathclyde, Glasgow, Scot.). *J.
Chem. Soc. A* 1970, (16), 2748-50 (Eng). The electronic
structure of dimeric aminoborane has been calcd. ab initio by
use of Gaussian orbital basis sets. Min. total energy was
achieved by variation of the B-N distance (optimum 1.63 Å)
and the B-N-B angle (optimum 86°). The energy of the dimer
exceeds that of 2 mols. of the monomer by about 3 kcal mole⁻¹,
and the implications of this are discussed. The shape of the
ring probably results from antibonding interactions between the
2 N atoms. The charge distribution is highly sym., the B and
N atoms being pos. and neg. charged, resp. RCGF

Copy
not past.

C.A. 1970.73

26

1870

(NH₂BH₂)₂ион. стр. паЧДНР.

6 Б45. Электронное строение димерного аминоборана (NH_2BH_2)₂. Armstrong D. R., Perkins P. G. Electronic structure of dimeric aminoborane, (NH_2BH_2)₂. «J. Chem. Soc.», 1970, A, № 16, 2748–2750 (англ.)

Произведен неэмпирич. расчет МО—ССП (NH_2BH_2)₂ (I) в гауссовом базисе с минимизацией полной энергии по длине связи B—N и углу B—N—B. Приведены орбитальные энергии, полная электронная энергия: —278,7932 ат. ед. при B—N 1,63 Å и B—N—B 86°, так что группировка B_2N_2 построена в виде искаженного квадрата. Из сравнения с расчетом мономера (см. РЖХим, 1970, 11Б44) найдена энергия димеризации: 2,64 ккал/моль при 0° К, что объясняет обратимый характер димеризации или ее отсутствие у родственных соединений. Потенциал ионизации равен 11,46 эв. С учетом энергии реорганизации (ЭР), включающей растяжение связи B—N от

X. 1981.

6

1,38 Å (\sim 38 ккал/моль) и изменение углов, энергия диссоциации I на два реорганизованных мономера оценена в 119 ккал/моль, так что энергия «новой» связи B—N оценивается в 60 ккал/моль. В случае $(CH_3)_2BN(CH_3)_2$, где ЭР должна быть больше, димеризации не должно происходить. Искажение квадрата B_2N_2 авторы связывают с тем, что взаимодействие N...N имеет разрыхляющий характер, а B...B — слабо связывающий. Заселенности АО в димере близки к найденным для мономера.

М. Дяткина

H₂BNH₂

1970

11 Б97. Криохимическое приготовление мономерного аминоборана. Куон С. Т., McGee Н. А., Jr. Структурная прерагатия of monomeris аминовогоре. «Inorg. Chem.», 1970, 9, № 11, 2458—2461 (англ.)

Продукты плазмохим. р-ций, образованные в безэлектродном ВЧ-разряде в парах боразина при низких давлениях, улавливались в проточной ловушке при -196° . При постепенном нагревании ловушки при т-рах -170 , -160 , -130 , -40 и -30° из нее выделялись соотв. диборан, аминоборан (H_2BNH_2), непрореагировавший боразин, а также, по-видимому, боразонафталин и диборазинил. H_2BNH_2 был идентифицирован: а) по относит. летучести; б) по масс-спектру; в) по потенциальну ионизации, равному $11,0 \pm 0,1$ эв и г) по ИК-спектру при различных т-рах вплоть до $4,2^{\circ}$ К. Ло-

ИК-спектр

X. 1981. 11

вушка была присоединена непосредственно к ионному источнику времяпролетного масс-спектрометра. Наиболее интенсивные ионы масс-спектра H_2BNH_2 и их относит. интенсивности — m/e 29 (38,8), 28 (100,0) 27 (56,2), 26 (13,8). Тв. H_2BNH_2 частично полимеризуется, начиная с т-ры -196° , с образованием белого инертного вещества.

В. Ю. Орлов

HBNH

$B_2N_2H_4$

(recom: exp)

1972.

Armstrong D.R., Clark D.T

"Theor. chim. acta"

1972, 24, N⁴, 307-316.

(cfr $B_3N_3H_6$, II)

1982

НВН
19 Б34. Исследование иминоборана неэмпирическим методом молекулярных орбиталей. Baird N., Colin Datta Ranjan K. An ab initio molecular orbital study of iminoborane. «Inorg. Chem.», 1972, 11, № 1, 17—19 (англ.)

Методом СОП МО ЛКАО в базисе СТО-ЗГ (миним. базис 3-членных сгруппированных гауссовских функций) рассчитано электронное строение и геометрия молекулы иминоборана, HBNH, в основном состоянии. Расчет предсказывает линейную структуру молекулы с длиной связи $B-N$ 1,23 Å и дипольным моментом 0,86 D. Анализ рассчитанных энергетич. характеристик, а также локализованных (по методу Эдмистона—Рюденберга) и канонич. МО, указывает на то, что связь $B-N$ имеет полярность B^+N^- , по своей силе сравнима со связью $C \equiv C$ в изоэлектронном аминоборану ацетилене и может рассматриваться как тройная.

По резюме

X·1982·19

1972

HB NH

50330x Ab initio molecular orbital study of iminoborane.
Baird, N. Colin; Datta, Ranjan K. (Dep. Chem., Univ. West. Ontario, London, Ont.). *Inorg. Chem.* 1972, 11(1), 17-19 (Eng).

The ground-state electronic and geometric structure of the as yet unisolated mol. iminoborane, HBNH, was investigated by ab initio SCF-LCAO-MO calcns. The mol. is predicted to be

linear with a B-N bond distance of 1.23 Å and with a dipole moment of 0.86 D. Anal. of the calcd. energy and of the localized and delocalized wave functions indicates that the B-N bonds, while polar in the sense B^+N^- , are of comparable strength to those in the isoelectronic hydrocarbon-acetylene and that the linkage is best represented as a truly triple bond.

Mr. Mek
picreus

Rev. u. clp -

C.H. 1972.76.10

1972
B₃N₃H₄
33

13 Б1085. Фотохимия боразина. Доказательство существования промежуточного продукта B₃N₃H₄. Neiss Melvin A., Porter Richard F. Photochemistry of borazine. Evidence for a borazine intermediate. «J. Amer. Chem. Soc.», 1972, 94, № 5, 1438—1443 (англ.)

При фотолизе (184,9 нм) B₃N₃H₆ (**I**) образуются H₂, боразанафталин, диборазанил и нелетучий полимер. Наблюдалась линейная зависимость выхода B₃N₃O₅H от суммарного давл. при фотолизе эквимол. смеси B₃N₃H₆—B₃N₃N₆. Квантовый выход образования H₂ равен 0,21 при давл. I, 1 мм и падает в присутствии добавок Ag, H₂ и циклогексана. Рассмотрен механизм фотохим. распада **I**, согласно к-рому возбужденная молекула **I** в синглетном состоянии в результате внутренней конверсии переходит в колебательно-возбужденное основное состояние и далее распадается на H₂ и промежут. соединение B₃N₃H₄.

А. Шведчиков

X. 1972. 13

$B_3H_3N_3$ ($'A_2 - 'A_1$) 1972

Yanase M., Koyanagi M., Kauday.

Meli. Far. Sei., Kyushu Univ.

1972, C8, w1, 35-42.

$\text{NH}_2 \cdot \text{B}_2\text{H}_5 (\nu_i)$

1973
on paper 1791

(81)

65231x Ring-puckering vibration of μ -aminodiborane. Gaylord, A. S.; Pringle, W. C., Jr. (Dep. Chem., Wesleyan Univ., Middletown, Conn.). *J. Chem. Phys.* 1973, 59(9), 4674-7. (Eng). The ring-puckering vibrations of μ -aminodiborane and $\text{ND}_2\text{-B}_2\text{H}_5$, $\text{NH}_2\text{-B}_2\text{D}_5$, and $\text{ND}_2\text{-B}_2\text{D}_5$ were investigated. The $0 \rightarrow 1$ transitions were assigned to the Q branches at 337.6, 333.6, 244.6, and 243 cm^{-1} , resp. The potential function for this vibration is $V(Z) = 8.695 \times 10^5 Z^4 + 6.850 \times 10^3 Z^2$ (cm^{-1}), where Z is the displacement coordinate in \AA . Inclusion of terms in the kinetic energy to account for the dependence of the reduced mass on coordinate suggests that the vibration involves equal bending about the diagonals in the ring-H analogs and bending about the B-B diagonal in ring-D mols. The concept of torsional-strain energy in ring mols. is introduced.

C.A. 1974. 80. N12. 65231x 10

⑧

NH₂-B₂H₅

January 1791

1973

(?) 65231x Ring-puckering vibration of μ -aminodiborane. Gaylord, A. S.; Pringle, W. C., Jr. (Dep. Chem., Wesleyan Univ., Middletown, Conn.) *J. Chem. Phys.* 1973, 59(9), 4674-7 (Eng.). The ring-puckering vibrations of μ -aminodiborane and ND₂-B₂H₅, NH₂-B₂D₅, and ND₂-B₂D₅ were investigated. The 0 → 1 transitions were assigned to the Q branches at 337.6, 333.6, 244.6, and 243 cm⁻¹, resp. The potential function for this vibration is $V(Z) = 8.695 \times 10^8 Z^4 + 6.859 \times 10^4 Z^2$ (cm⁻¹), where Z is the displacement coordinate in Å. Inclusion of terms in the kinetic energy to account for the dependence of the reduced mass on coordinate suggests that the vibration involves equal bending about the diagonals in the ring-H analogs and bending about the B-B diagonal in ring-D mols. The concept of torsional-strain energy in ring mols. is introduced.

C.A. 1974, 80, #12

40219.7515

TE, Ph, Ch

$BH_2-NH_2-BH_2-H$

40892

1973

1791

Gaylord A.S., Pringle W.C., Jr. Ring-puckering vibration of μ -aminodiborane.

"J.Chem.Phys.", 1973, 59, N9, 4674-4677

(англ.)

0047

БИБ

030 032 040

ВИНИТИ

1943

з Д384. ИК-спектры и спектры комбинационного
рассеяния гидразин-бис-(тригидроборана). Напои-
сек F., Нагуда F. Infrared and raman spectra of
hydrazine-bis(trihydroborane). «Collect. Czech. Chem.
Communs», 1973, 38, № 9, 2692—2696 (англ.)

Получены ИК-спектры ($4000\text{--}400\text{ см}^{-1}$) $\text{N}_2\text{H}_4\cdot\text{BVI}_3$
(I) и его d_6 - и d_{10} -производных в твердом состоянии и
в растворе в диэтиловом эфире, а также их спектры
комб. рас. На основании предположения о принадлеж-
ности I к классу симметрии C_{2h} и на основании смеце-
ния полос при изотопном замещении дано отнесение
полос. Дублет в области 720 см^{-1} в спектре комб. рас.
I отнесен к v_s ^{10}BN и ^{11}BN , а полоса ИК-поглощения
 760 см^{-1} отнесена к v_{as} колебания той же связи. Отме-
чена чувствительность полосы 760 см^{-1} к дейтерирова-
нию. Библ. 11.

А. Л. Белозеров

(✓)

Ф. 1944. № 3

HNBH

1973

16 Б242. Инфракрасные исследования продуктов в системе водород — бор — азот, изолированных в матрице. Lory Earl R., Porter Richard F. Infrared studies of matrix isolated species in the hydrogen—boron—nitrogen system. «J. Amer. Chem. Soc.», 1973, 95, № 6, 1766—1770 (англ.)

(V_i)

Измерены спектры ИК-поглощения продуктов фотодиагностики $\text{H}_3\text{N}_3\text{B}_3$ (I), изолированных в матрицах Аг и Хе при $M/A = 300$ или выше. Как основной продукт разложения I идентифицирован HNBH (II). В ИК-спектре обнаружены два из трех основных колебаний-II: 3700 см^{-1} (v_1) и 1785 см^{-1} (v_3). Обнаружены полосы этих же колебаний изотопич. разновидностей II с B^{10} и N^{15} . Проведен расчет основных колебаний II. Рассчитанное значение частоты v_2 2800 см^{-1} . К основному деф. кол. v_4 предположительно отнесена слабая полоса 460 см^{-1} . Изучено действие более продолжительного облучения, приводящее к разложению II с образованием HNB, к колебаниям к-рого отнесены полосы $3675 \text{ (v}_1\text{)} \text{ и } 2035 \text{ см}^{-1} \text{ (v}_2\text{)}$.

Г. Кузьинц

15-259

дс. 1973 № 16

HNBH

1973.

130181f Infrared studies of matrix isolated species in the hydrogen-boron-nitrogen system. Cory, Earl R.; Porter, Richard F. (Dep. Chem., Cornell Univ., Ithaca, N.Y.). *J. Amer. Chem. Soc.* 1973, 95(6), 1766-70 (Eng). Infrared spectra of the 1216-Å photolysis products of H₃N.BH₃ in rare gas matrixes indicated that the major product was imidoborane (HNBH). Two of the 3 Σ⁺ vibrations for a linear HNBH structure were obsd. at 3700 cm⁻¹ (ν_1) and 1785 cm⁻¹ (ν_3) for the ¹¹B, ¹⁴N species in an Ar matrix. Calcns. based on isotope effects predicted a frequency of 2800 cm⁻¹ for ν_2 . One of the bending vibrations of HNBH was obsd. at 460 cm⁻¹. A 2nd species appearing after prolonged photolysis of H₃N.BH₃ was HNB. Spectra of the photolysis products of borazine indicated a species formed by ring opening, loss of H, and multiple BN bond formation.

C.A. 1973. 78 n20

(+) HNB



NH₄B₃H₈

1973

47421j Infrared absorption spectra of some nitrogen-containing octahydrotriborates(1-). Nikitin, V. S.; Pchelkina, M. A.; Antonov, I. S.; Vinogradova, Z. F.; Kurekova, A. T. (USSR). *Zh. Prikl. Spektrosk.* 1973, 18(5), 938 (Russ). Addnl. data considered in abstracting and indexing are available from a source cited in the original document. The ir spectra of NH₄B₃H₈, N(CH₃)₄B₃H₈, and N(C₂H₅)₄B₃H₈ were detd. at 400-4000 cm⁻¹. Discrepancies in published assignments of the band at 2128 cm⁻¹ (sym. stretching vibration of BH₂) are discussed. Proof is given that the band corresponds to stretching vibrations of the B-H-B group in B₃H₈ ion.

H. Parizkova

U.K. chemip

C.A. 1973.79 n 8

(+)



30727.6833

Ph., Ch., TE

41125

1973

25-1235

Smith J., Seshadri K.S., White David.

Infrared spectra of matrix isolated BH_3-

NH_3 , BD_3-ND_3 , and BH_3-ND_3 . "J. Mol.

Spectrosc.", 1973, 45, N 3, 327-337

(англ.)

0926 ник

902 906 919

ВИНИТИ

H_2BNH_2

*45-4596

1974

8 Д173. Вычисление барьера внутреннего вращения и структуры аминоборана неэмпирическим методом.
Gropen Odd, Seip Hans M. Rotational barrier and structure of aminoborane determined by AB initio calculations. «Chem. Phys. Lett.», 1974, 25, № 2, 206—208
(англ.)

Сил. конст.,
Чемер.

Неэмпирическим методом ССП МО ЛКАО с использованием расширенного базиса s, p, d -орбиталей вычислены структурные параметры и силовые постоянные для плоской ортогональной формы, барьер внутреннего вращения вокруг связи B—N и барьер инверсии молекулы H_2BNH_2 . Полученные значения длины связи B—N (1,378 Å) и барьера внутреннего вращения (33,3 ккал/моль) согласуются с эксперим. данными (1,379 Å и 26,3 ккал/моль).
М. Р. Алиев

Ф.1974. N8



*45-8099

1924

11 Б313. Микроволновый спектр, структура и дипольный момент аминодиборана. Lau Ка Г — Куен, Burg Anton B., Beaudet Robert A. Microwave spectrum, structure, and dipole moment of aminodiborane. «Inorg. Chem.», 1974, 13, № 12, 2787—2791 (англ.)

Исследованы МВ-спектры десяти изотопозамещенных аминодиборана $\text{H}_2\text{NB}_2\text{H}_5$ в области частот от 18,5 до 40 ГГц. Для всех изотопозамещенных определены врачащательные постоянные и моменты инерции, для нормального изотопич. образца врачащательные постоянные в МГц с точностью не хуже $\pm 0,05$ МГц: $A = 19448,87$; $B = -14228,18$; $C = 10098,81$. По эффекту Штарка для одного перехода определен дипольный момент: $\mu = 2,67 \pm 0,03$ Д.

М. б.
спектр
Ji; м.п.
гематр.

х. 1975. № 11

БР-С2 Х97-ХV

Из анализа тонкой структуры ряда переходов и квадрупольного расщепления определены компоненты ^{14}N ядерного квадрупольного взаимодействия в Мгц: $\chi_{aa} = -2,71 \pm 0,03$; $\chi_{bb} = 0,84 \pm 0,05$; $\chi_{cc} = 1,87 \pm 0,08$. Определены координаты всех атомов молекулы за исключением двух атомов водорода амино-группы. Определены структурные параметры: $r(\text{B}-\text{B}) = 1,916 \pm 0,002$ Å, $r(\text{B}-\text{N}) = 1,558 \pm 0,001$ Å, $r(\text{B}-\text{H}_{br}) = 1,355 \pm 0,005$ Å, $r(\text{B}-\text{H}_t) = 1,193 \pm 0,001$ Å, $\angle \text{BNB} = 75,9 \pm 0,1^\circ$, $\angle \text{BH}_{br}\text{B} = 90,0 \pm 0,6^\circ$, $\angle \text{H}_t\text{BH}_t = 121,0 \pm 0,3^\circ$, угол между BH_2 плоскостью и плоскостью, перпендикулярной к C_{2v} оси симметрии: $16,8 \pm 0,1^\circ$.

С. Н. Мурзин

$\text{H}_2\text{NB}_2\text{H}_5$ BP-2797-XV
*5-8099

1974

179419r Microwave spectrum, structure, and dipole moment of aminodiborane. Lau, Kar-Kuen; Burg, Anton B.; Beaudet, Robert A. (Chem. Dep., Univ. South. California, Los Angeles, Calif.). *Inorg. Chem.* 1974, 13(12) 2787-91 (Eng). The microwave spectra of 10 isotopic species of $\text{H}_2\text{NB}_2\text{H}_5$ were assigned. The following substitution values for the structural parameters were detd.: $r(\text{B-B}) = 1.916 \pm 0.002 \text{ \AA}$, $r(\text{B-N}) = 1.558 \pm 0.001 \text{ \AA}$, $r(\text{B-H}_{br}) = 1.355 \pm 0.005 \text{ \AA}$, $r(\text{B-H}_t) = 1.193 \pm 0.000 \text{ \AA}$, $\angle \text{BNB} = 75.9 \pm 0.1^\circ$, $\angle \text{BH}_t\text{B} = 90.0 \pm 0.6^\circ$, $\angle \text{H}_t\text{BH}_t = 121.0 \pm 0.3^\circ$, $\angle \epsilon$ (the angle made by the BH_t plane and the plane perpendicular to the C_{2v} symmetry axis) = $16.8 \pm 0.1^\circ$ (br and t refer to bridging and terminal H atoms, resp.). From the center of mass equations, the amino hydrogen parameters were calcd. to be $r(\text{N-H}) = 1.005 \pm 0.006 \text{ \AA}$ and $\angle \text{HNH} = 111.0 \pm 1.2^\circ$. The dipole moment was $2.67 \pm 0.03 \text{ D}$. The ^{14}N nuclear quadrupole coupling consts. were $\chi_{ee} = -2.71 \pm 0.03$, $\chi_{bb} = 0.84 \pm 0.05$, and $\chi_{cc} = 1.87 \pm 0.08 \text{ MHz}$.

Configur.
hafaw.

C.A. 1974, 81 N 26

BH_2NH_2

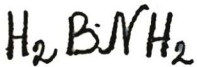
1974

(40)

Rombordi 18,00 a.l.,
J. Phys., 1974,
61, 113, 894-902.

(crys. C_2H_6 ; III)

1974



16 Б36. Электронное строение и спектры ЯМР некоторых производных фуранохинолиновых, 5, 6, 7, 8-тетра-гидрофуранохинолиновых и 2-хинолоновых алкалоидов. Ягудаев М. Р., Юнусов С. Ю. «Химия природ. соедин.», 1974, № 1, 55—62

Неэмпирическим методом ССП МО ЛКАО в базисе гауссовых функций ($\text{N}, 9s5p1d|\text{B}, 9s5p|\text{H}, 4s$), сгруппированном в ($\text{N}, 4s2p1d|\text{B}, 4s2p|\text{H}, 2s$) исследовано электронное строение и рассчитана равновесная геометрия аминоборана, H_2BNH_2 (I). Минимуму энергии отвечает плоская структура I с длинами связей $\text{B}-\text{H}$ 1,193 Å, $\text{N}-\text{H}$ 1,006 и $\text{B}-\text{N}$ 1,378 и валентными углами $\text{H}-\text{B}-\text{N}$ 119,5° и $\text{B}-\text{N}-\text{H}$ 124,4° (опытное значение длины

равновесной геометрии

Х. 1974. N 16

связи В—N для $(\text{CH}_3)_2\text{NCl}_2$ 1,379 Å). Барьер вращения оценен в 33,3 ккал/моль, что близко к опытным данным для родственных систем. В повернутой на 90° форме связь В—N удлинена на 0,09 Å, группа NH_2 пирамидальная и находится в шахматной конформации по отношению к группе BH_2 . Барьер инверсии для группы NH_2 (геометрия оптимизировалась только частично) оценен в 7,2 ккал/моль. Также рассчитаны силовые постоянные вал. кол., найденные равными соотв. 8,03; 8,10 и 4,07 мдзи/Å для связей N—B, N—H и B—H плоской формы.

В. Л. Лебедев

KU-9483

1975

H₂BNH₂

Dill, J.D. et al.

H B-NH

J. Am. Chem. Soc., 1975,

Kb. 0.001
paciem

97(12), 3402-9

C.A. 1975, 83, N8

Cu BH; III

1975

B_nN_nH_{n+3}

84: 50029w Energy levels and wave functions of polyborazoles. Pozela, I.; Radvilavicius, C. (Kaunas A. Snieckus Polytech. Inst., Kaunas, USSR). *Liet. Fiz. Rinkinys* 1975, 15(4), 559-64 (Russ). Anal. equations of energy levels and wave functions were derived by the MO LCAO method for polyborazoles ($B_nN_nH_{n+3}$), composed of linear series of ($B_3N_3H_6$) rings, in the π -electron approxn. and by using the finite difference method. The Coulomb and exchange integrals were calcd. by using literature exptl. spectroscopic data. The energy of the 1st π -electron transition decreases with increasing no. (N) rings in the mol. and at $N \rightarrow \infty$ it reaches 4.46 eV.

K_b. ~~recd.~~
specimen

C.I. 1976 84 n8

B₂H₅NH₂

1976

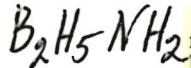
85: 130906r The electronic structure of aminodiborane.
Armstrong, D. R. (Dep. Pure Appl. Chem., Univ. Strathclyde,
Glasgow, Scot.). *Inorg. Chim. Acta* 1976, 18(2), 145-6 (Eng).
The electronic structure of aminodiborane ($\text{B}_2\text{H}_5\text{NH}_2$) was
studied by nonempirical LCAO-MO-SCF calcns. There is
electron donation to the amino group from the diborane moiety.
The main component of the B-N bond is in the in-plane
interaction between the B P_z orbital, perpendicular to the B-B
bond (y axis), and the $n P_y$ orbital. The π -bonding within the
BBN ring is negligible. Tilting the BH₂ groups by 16.8° from a
plane perpendicular to the C₂ axis stabilizes the mol. energy by
24.2 kJ/mole.

kb. ucr.
packet

C.A. 1976 85 n 18

B-H-N (аминодиборан)

1976



18 Б40. Электронное строение аминодиборана. Аг-
mstrong D. R. The electronic structure of aminodi-
borane. «Inorg. chim. acta», 1976, 18, № 2, 145—146;
(англ.)

Методом ССП МО ЛКАО в двухэкспонентном базисе
ОСТ—4ГФ исследовано электронное строение плоской
(I) и изогнутой (плоскости BH_2 отклонены от плоскости
 BBN) (II) конформаций аминодиборана. Во всех рас-
четах использованы эксперим. значения длин связей и
валентных углов. Найдено, что II стабильнее I на
5,8 ккал/моль. Анализ заселенностей показал, что атом-
ные заселенности I и II почти одинаковы. Обнаружен
перенос заряда с атомов H аминогруппы (от каждого
0,359) и с группы диборана (0,227) на атом азота.
Мостиковый атом H несет малый отриц. заряд. Связь
B—B, достаточно слабая в диборане, становится несущ-
щейной в I и II. Связывающее взаимодействие

Чомич.
Д. Енфельд

Х. 1976 N 18

сконцентрировано в плоскости цикла, т. к. π -компоненты в области B—B—N разрыхляющие. Высшая занятая MO представляет собой антисимметричную комбинацию P_z -АО бора и АО симметрично расположенных терминальных атомов Н. Низшая вакантная MO состоит из p -АО бора, расположенных в плоскости BBN. Этим объясняется, что как электрофильные, так и нуклеофильные реагенты, реагируют с атомом В. Вычисленный дипольный момент согласуется с экспериментальным.

В. А. Корсунов

$(\text{BH}_2\text{NH}_2)_3$

оттиск 4484

1976

21 Е61. Геометрическое и электронное строение циклогексана циклоториборазана, $(\text{BH}_2\text{NH}_2)_3$. Findlay Robert H. Geometric and electronic structures of cyclohexane and cyclotriborazane, $(\text{BH}_2\text{NH}_2)_3$. «J. Chem. Soc. Dalton Trans.», 1976, № 10, 851—857. (англ.)

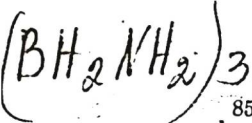
Неэмпирическим методом ССП МО ЛКАО в миним. базисе сгруппированных гауссовских функций ($7s$, $3p$ для В, С, N и $4s$ для Н) проведены расчеты циклоториборазана (I) и циклогексана (II) в различных конформациях. Для I и II проведена частичная оптимизация геометрии по двухгранным углам, определяющим отклонения систем от плоскости. В случае II в согласии с опытом и лит. расчетными данными найдено, что конформация типа ванны менее стабильна, чем конформация типа кресла, хотя рассчитанная разность энергий конформеров несколько завышена 38,1 кДж/моль (опыт 20,0—24,7). В случае I наиболее низкой энергии отвечает затменная конформация типа ванны, что не согласуется с рентгеноструктурными данными. Обсуждены возможные причины указанных расхождений.

Геометр.
и электр.
строение

1976 № 21

Приведены дипольные моменты и заселенности связей различных конформаций I и II. Рассмотрены процессы ионизации в изученных системах. Потенциалы ионизации (ПИ) рассчитывались двумя способами: по теореме Кулманса (TK) и прямым расчетом, как разность энергий ССП молекулы и образующегося катион-радикала. Расчеты катион-радикалов проводились в рамках ограниченного метода Хартри—Фока для открытых оболочек. Приведены энергии релаксации ионизации $\Delta E_p^i = (\text{ИП TK})_i - (\text{ИП ССП})_i$ с различными орбиталей. Обсуждена связь между ΔE_p^i и средними значениями $\langle r^2 \rangle_i$, характеризующими степень делокализации данной MO. Рассчитаны и сопоставлены с экспериментальными данными тепловые эффекты ряда реакций I и II: 1) II + 6CH₄ → 6C₂H₄; 2) II → C₆H₆ + 3H₂; 3) I → B₃N₃H₆ + 3H₂; 4) II → 3C₂H₄; 5) I → → 3BH₃(NH₂); 6) II + 3H₂ → 3C₂H₆; 7) I + 3H₂ → 3NH₃ · BH₃; 8) I + 3H₂ → 3BH₃ + 3NH₃; 9) 2(I) → B₃N₃H₃ + + 3NH₃ · BH₃.

И. Абронин



Omnitech 4484

1976

85: 68614p Geometric and electronic structures of cyclohexane and cyclotriborazane, $(BH_2NH_2)_3$. Findlay, Robert H. (Dep. Pure Appl. Chem., Univ. Strathclyde, Glasgow, Scot.). *J. Chem. Soc., Dalton Trans.* 1976, (10), 851-7 (Eng). Nonempirical minimal-basis-set calcns. of the geometric and electronic structures of cyclohexane (I) and cyclotriborazane (II), predicted that II adopts an eclipsed boat conformation in the gas phase and is thermodynamically unstable with respect to disproportionation, and confirmed that the chair conformation for I was more stable than the boat conformation. Changes in ionization potential and orbital nature were discussed in terms of the relative atomic orbital energies. Several open-shell calcns. gave improved agreement with exptl. ionization energies, while the assocd. electronic relaxation energies were considered in the context of the $\langle r^2 \rangle$ expectation value.

conject-
nh place.
Kf. ext.
place

C.A. 1976 85 n 10

OMMULK 6000

1974

Hoppezeller

Beachley O.T.

B-C-N-H

et al.

bogopost.

Inorg. Chem., 1974,
16, 2935 - 2938

Chrys. b

N.H. O;

Cresol-dip



Borazines; Nucleoles ..

HBN-

Lomnicka 10504] 1972

HNB-

Summers N. L; et al.

(11,11)

J. Amer. Chem. Soc.,
1974, 99 (12), 3960-65.

ICB. Mex.
Facultad

HBNH

Lommel 10504 | 1977.

Summers N. L.; et al.

(Min) J. Amer. Chem. Soc.,
1977, 99 (12), 3960 -65.

Kb. reex.
factor

HN_B
HBN
HNBH 1978
prabiol.
reacteris
eest. 1980, Di
Botschvaria Peter
Chem. Phys. 1978, 28, N1-2,
231-241 (Kau)

car. BO - IV

$\text{BH}(\text{NH}_2)_2$

ommelk 7187

1978

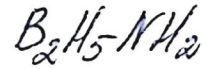
Briggs Th. J. et al.

J. Amer. Chem. Soc.

1978, 100 (24), 7762-63.

Synthesis, Characterization
and Structure of ...

(H,N) :
Cuprymper
marcusii



13 Б14. Электронное строение и природа связей в диборане (B_2H_6) и аминодиборане ($B_2H_5NH_2$). Datta M. K., Datta R. Electronic structure & bonding in diborane (B_2H_6) & aminodiborane ($B_2H_5NH_2$). «Indian J. Chem.», 1978, A16, № 4, 274—278 (англ.)

Методом МО ЛКАО СПП в приближении ППДП/2 выполнен расчет B_2H_6 (I) и $B_2H_5NH_2$ (II). Полученные МО локализованы по методу Триндла и Синаноглу («J. Chem. Phys.» 1968, 49, 65), представляющему модификацию процедуры Эдмистона—Рюденберга для полуэмпирических методов. Подробно обсуждено строение локализованных МО, их сходство и различие в I и II. Приведены результаты анализа заселенностей по Малликену. Вычисленное значение дипольного момента II равно $2,27 D$ (эксперим. значение 2,67). Проанализирована роль различных энергетических вкладов в энергию хим. связей ($E_{\text{св}}$) I и II. Найдено, что основной вклад в $E_{\text{св}}$ дают взаимодействия резонансного типа E^R , причем $E_{\text{св}}$ и E^R изменяются симбатно, члены электростатич. отталкивания и притяжения приблизительно взаимно компенсируются.

А. Клягина

М.Н.

27

Х. 1949, N/3

BH_2NH_2

1979

M, N.

93: 104037d Microwave spectra of aminoborane ($BH_2N\bar{H}_2$). Sugie, Masaaki; Kawashima, Yoshiaki; Takeo, Harutoshi; Matsumura, Chikashi (Natl. Chem. Lab. Ind., Tokyo, Japan). *Koen Yoshishu - Bunshi Kozo Sogo Toronkai* 1979, 168-9 (Japan). Chem. Soc. Japan: Tokyo, Japan. The microwave spectrum of BH_2NH_2 produced from the thermal reaction between NH_3 and B_2H_6 were obsd., and the mol. consts., including the rotational and centrifugal distortion consts., dipole moments, and the mol. structure were detd. The mol. consts. of $^{10}BH_2NH_2$, $BH_2^{15}NH_2$, BD_2NH_2 , and BH_2ND_2 were also detd.

C.A. 1980, 93 n 10

BH₂NH₂

DM · 8172

76/9

91: 131543f Microwave spectrum of aminoborane, BH₂NH₂. Sugie, Masaaki; Takeo, Harutoshi; Matsumura, Chi (Natl. Chem. Lab. Ind., Tokyo, Japan 151). *Chem. Phys. Lett.* 1979, 64(3), 573-5 (Eng). The unstable species aminoborane, BH₂NH₂, was identified as a reaction produce of NH₃ with B₂H₆ microwave spectroscopy. The rotational consts. detd. are A = 138212 ± 4, B = 27487.83 ± 0.10, and C = 22878.44 ± 0.11 MHz for ¹¹BH₂NH₂ and A = 138199 ± 6, B = 28420.36 ± 0.11 and C = 23520.78 ± 0.12 MHz for ¹⁰BH₂NH₂. The dipole moment is 1.844 ± 0.015 D.

M.N.

XIV-36223

C.A.1979 Gen 6

BH₂NH₂

22 Б269. Микроволновый спектр аминоборана,
 BH_2NH_2 . Sugie M., Takeo H., Matsumura S.
Microwave spectrum of aminoborane, BH_2NH_2 . «Chem. Phys. Lett.», 1979, 64, № 3, 573—575 (англ.)

Измерены в области частот от 8 до 60 ГГц МВ-спектры двух изотопич. образцов нестабильной молекулы аминоборана, $^{11}\text{BH}_2\text{NH}_2$ (I) и $^{10}\text{BH}_2\text{NH}_2$ (II), в основном колебательном состоянии. I и II получены в качестве продуктов р-ции между дибораном и аммиаком при нагреве смеси до т-ры 500°. В приближении нежесткой модели определены для I и II, соответственно, врачательные постоянные (в МГц) $A=138212(4)$ и $138199(6)$, $B=27487,83(10)$ и $28420,36(11)$, $C=22878,44(11)$ и $23520,78(12)$, и постоянные центробежного искажения (в МГц) $\tau_{aaaa}=-22(5)$ и $-28(9)$.

2.1979/122

$\tau_{bbb} = -0,23(4)$ и $-0,19(8)$, $\tau_{aab} = 1,0(5)$ и $1,8(10)$,
 $\tau_{bab} = -1,4(2)$ и $-1,8(4)$. Из малости дефектов инерции для I и II сделан вывод о плоской структуре молекулы. По эффекту Штарка для двух переходов I и II в предположении $\mu_b = \mu_c = 0$ определен дипольный момент молекулы $\mu_a = 1,844(15) D$. В предположении, что $r(BH) = 1,184 \text{ \AA}$, $r(NH) = 1,003 \text{ \AA}$, определены молек. параметры $r(BN) = 1,403(5) \text{ \AA}$, углы NBN $120,7(4)^\circ$, BNH $117,9(19)^\circ$. Полученные значения параметров согласуются с данными для родственных молекул. Длина BN связи указывает на двойной характер связи в соответствии с предсказанием квантовохим. расчетов. Из сравнения с BF_2NH_2 установлено, что дипольный момент I направлен от атома азота к атому бора, что не согласуется с результатами расчетов. С. Н. Мурзин

BH₂NH₂

отмечено 8172 1979

11 Д569. Микроволновый спектр аминоворана
BH₂NH₂. Sugie Masaaki, Takeo Nagutoshi,
Matsumura Chi. Microwave spectrum of amino-
borane, BH₂NH₂. «Chem. Phys. Lett.», 1979, 64, № 3,
573—575 (англ.)

Впервые получен микроволн. спектр нестабильной молекулы BH₂NH₂ (I), образованной при реакции аммиака с дибораном. В диапазоне 8—52 ГГц идентифицированы линии вращательных переходов с $J \leq 27$ основных колебательных состояний I = ¹⁰B и I = ¹¹B. Определены значения вращательных и квартичных центробежных постоянных этих молекул.

М. Р. Алиев.

МР-3623

М. Р. Алиев

д. 1979, III

B-N-j/

1979

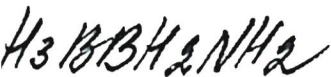
91: 81105s Emission spectrum of tri-B-fluoroborazine radical cation in the gas phase: $A^2A_2'' \rightarrow X^2E''$ band system. Jones, Taylor B.; Maier, John P.; Marthaler, Oskar (Phys.-Chem. Inst., Univ. Basel, CH-4056 Bas. L, Switz.). *Inorg. Chem.* 1979, 18(8), 2140-2 (Eng). The optical emission spectrum of the tri-B-fluoroborazine radical cation in the g_3 phase was obtained. The band system is assigned to the $A^2A_2'' \rightarrow X^2E''$ electronic transition of the cation by ref. to the photoelectron spectrum of tri-B-fluoroborazine which was recorded under high resoln. A vibrational anal. of the emission band system yields the frequencies of 3 of the 4 A_1' (under D_{3h} symmetry classification) fundamentals for the X^2E'' state whereas the Ne I photoelectron spectrum allows the corresponding 3 frequencies for the A^2A_2'' state of tri-B-fluoroborazine cation to be deduced.

C.A. 1979, 81(10)

0111111111 10497 1980



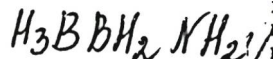
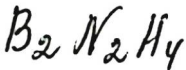
J.
J.



94: 9356u Ground states of molecules. Part 57. Vibration frequencies of boron-containing molecules. Dewar, Michael J. S., McKee, Michael L. (Dep. Chem., Univ. Texas, Austin, TX 78712 U.S.A.) *Mol. Struct.* 1980, 68, 105-18 (Eng). Vibration frequencies were calcd. for a no. of B-contg. mols. using MNDO. Correlations with obsd. spectra led to ests. of group corrections. Cor. frequencies are used in assigning IR spectra of aminoborane and $B_2N_2H_8$ and in predictions of spectra for vinyl borane and $B_2N_2H_4$.

E.A.1981.54/12

отиск 10497 1980



$(\nu_i)_{\text{расч.}} + 4$

Х. 1981 N 7

7 Б155. Основные состояния молекул. Часть 57. Частоты колебаний борсодержащих молекул. DeWag M. J. S., McKee M. L. Ground states of molecules. Part 57. Vibration frequencies of boron-containing molecules. «J. Mol. Struct.», 1980, 68, 105—118 (англ.)

Проведен расчет норм. кол. большого числа борсодержащих молекул. Силовые постоянные рассчитаны одним из вариантов полуэмпирич. метода ЧПДП. Исходя из результатов расчета частот колебаний 28-ми борсодержащих молекул, для к-рых имеются надежные данные по спектрам и отнесению частот колебаний, рассчитаны поправки (σ_k) для частот колебаний определенного типа (ν_i) групп атомов типа К минимизацией выражения $\sum_i (\nu_i \text{набл.} - \nu_i \text{расч.} + \Sigma \sigma_k)^2$. После внесения поправок

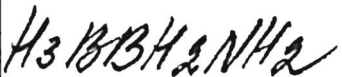
средняя ошибка расчета составила 11,8%. Используя полученные значения σ_k проведен расчет норм. кол. молекул $B_2N_2H_8$ (циклич. молекула) и BH_2NH_2 , для к-рых отсутствовали данные по отнесению частот колебаний, и рассчитан колебательный спектр молекул $CH_2=CHBH_2$, $H_3B_2NH_2$ и $B_2N_2H_4$, спектры к-рых не измерены.

И. А. Гарбузова

0111111111 10497 1980



J.



E.A.1981.5912

94: 9356u Ground states of molecules. Part 57. Vibration frequencies of boron-containing molecules. Dewar, Michael J. S.; McKee, Michael L. (Dep. Chem., Univ. Texas, Austin, TX 78712 U.S.A.) *Mol. Struct.* 1980, 68, 105-18 (Eng). Vibration frequencies were calcd. for a no. of B-contg. mols. using MNDO. Correlations with obsd. spectra led to ests. of group corrections. Cor. frequencies are used in assigning IR spectra of aminoborane and $B_2N_2H_8$ and in predictions of spectra for vinyl borane and $B_2N_2H_4$.

$H_2B\sqrt{N}H_2$

$HB(NH_2)_2$

$(H_2B_2)NH$

pabn. reosseip.

OMMECK 10803

1980

Fjeldberg Torgny
et al.

Acta chem. scand.,
1980, A 34, N 8, 547-565.

(cev. H_2BOH ; II).

$BH_2 - NH_2$

1980

$BH_2 - NH^-$ Hindle et al.

no. recd.
page

J. Comput. Chem., 1980,
11(2), 118-28.

coll. $Li - NH_2 - \bar{N}$

1980

BN

B₃N₃H₆

K. O. Veen
R. A. M. J. Y.
H. C. Bagus

Jug K., et al.

Theor. chim. acta, 1980,
57, N2, 131-44



att. FH-M

H_2BNH_2 1980
 $HB(NH_2)_2$ Fjellberg T., et al.
 $(H_2B_2)NH$ Acta Chem. Scand., 1980,
stab. reac.

coll. H. Borchert

$(HBNH)_n$ [Lommel 12894] 1981.

Armstrong D.R.

lib. acc.
faeces
Cryogenic
chart

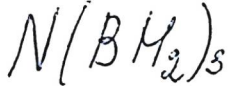
Theor. chim. acta,
1981, 60, 159-172

4-NB₃H₁₃ 1981

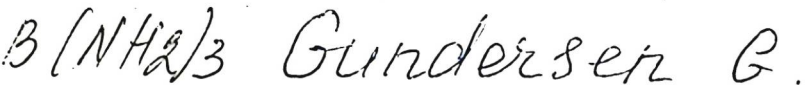
Dolánský J., et al.

český
Collect. Czech. Chem.
Commun., 1981, 46, N10,
2479 - 2493.

(viz. 4-CB₃H₁₄; III)



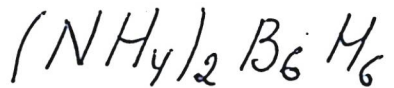
Ommeck 13172 / 1981



paocēiū,
reodacceiūped,
Сеируккнурा,
no.

Acta chem. scand.,
1981, A 35, N9, 729 -
731.

(See. $B(OH)_3$; 111)



1982

Bragin J., et al.

Pi J. Raman Spectrosc.,
1982, 12, N1, 86-90.



(cu. $C_2B_6H_6$; II)

$BH_3 N_2$

1982

Pereira

et. al.

Breillet Jacques,
Lievre Jacques.

Theor. chim. acta,
1982, 61, n^o1, 59-72.

(C_{cis}. $BH_3 CO$; III)

HN^B⁺

1982

Deb M.B., Mahajan
Beeta D.

meop.
paeriu
сейрукъ.
и севад. - 371.

Indian J. Pure Appl.
Phys. 1982, 20 (5), 360 -

(cu.H³Li; $\frac{1}{2}$)

HBNH

1982

Picrem

Pi

Hout Robert F., Levi
Beverly A., et al.

J. Comput. Chem.

1982, 3, N2, 234-250.

(ee. H₂; H_2^+)

ЛНБ+ Dmillek 15870- 1982

Смыхмыса,
Meopem.
pacrem. llahajan G.D., Deb B.U.,
Indian J. Pure and
Appl. Phys., 1982, 20,
N^o 7, 527-537.

$\text{BH}(\text{NH}_2)_2$

Он. 16974

1982

20 Б199. Инфракрасный спектр, спектр комбинационного рассеяния и расчет частот и форм нормальных колебаний борандиамина. Infrared and Raman spectra and normal coordinate analysis of boranediamine. Reuter D. C., Thorpe L. R., Gwinn W. D. «J. Phys. Chem.», 1982, 86, № 24, 4737—4745 (англ.)

Проведен синтез и измерены ИК-спектры поглощения на фурье-спектрометре с разрешением от 0,125 до 0,5 см^{-1} и спектры КР 4 изотопомеров борандиамина, $^{11}\text{BH}(\text{NH}_2)_2$ (I), $^{10}\text{BH}(\text{NH}_2)_2$ (II), $^{11}\text{BH}(\text{ND}_2)_2$ (III) и $^{10}\text{BH}(\text{ND}_2)_2$ (IV). На базе полученных эксперим. данных дано отнесение частот колебаний. Проведен контроль отнесения частот по правилу Теллера—Редлиха. С помощью нелинейного метода наименьших квадратов решена обр. колебательная задача для плоской модели молекулы I. Подгонка силовых постоянных проведена по 37 эксперим. частотам молекул I—IV. Для

$\nu_i, \text{ см}^{-1}$

X. 1983, 19, № 20

устранения плохой обусловленности системы уравнений часть силовых постоянных не варьировалась и принята равной нулю. С полученным силовым полем рассчитаны постоянные центробежного искажения молекулы I и значения дефекта инерции 8 изотопомеров соединения I. Из совпадения всех рассчитанных и эксперим. величин сделан вывод о плоском строении молекулы I и о частичной двоесвязности фрагмента BN.

Ю. Н. Панченко

$B_6(NH_2)_6$ *Nanakpur* 1 Dec 1983

Neckel A., Polesak H.
et al.

Челленер,
Сиркүй. *Inorg. chim. acta*,
1983, 70, №2, 255-259.

(Cet. $N(BH_2)_3$; III)

$BH(NH_3)_2$

Он. 16974

1982

і2 Д469. Спектры ИК-поглощения и комбинационного рассеяния света и анализ нормальных колебаний борандиамина. Infrared and Raman spectra and normal coordinate analysis of boranediamine. Reutter D. C., Thorne L. R., Gwinn W. D. «J. Phys. Chem.», 1982, 86, № 24, 4737—4745 (англ.)

Получены ИК-спектры ($4000—50\text{ см}^{-1}$) газообразного борандиамина (I) и его изотопически-замещенных ($^{11,10}\text{B}$, D) аналогов, а также спектры комб. рас. I и его аналогов при возбуждении лазерными линиями 488,0 и 514,5 нм. Проведен анализ норм. колебаний I в рамках плоской конфигурации типа симметрии C_{2v} . Определены значения силовых постоянных и значения частот колебаний связей I. Определены параметры наиболее устойчивой конфигурации I. Вычислены значения констант центробежного искажения I и его изотопич. аналогов. Величины силовых постоянных вал. кол. связей B—N и N—H составляют 6,0 и 6,8 мдин/ \AA^1 соответственно. Показано, что связь B—N в I обладает характером частично двойной связи в плоской устойчивой конфигурации I. Библ. 16. И. В. А.

Д. С. и др. ЛОСМ.

с/р. 1983, 18,
N/2

$BH(NH_2)_2$

Om. 16974

1982

97: 205130s Infrared and Raman spectra and normal coordinate analysis of boranediamine. Reuter, D. C.; Thorne, L. R.; Gwinn, W. D. (Univ. California, Berkeley, CA USA). *J. Phys. Chem.* 1982, 86(24), 4737-45 (Eng). Vibration transition frequencies obtained from moderate-resoln. Fourier transform IR (FT IR) spectra and low-resoln. Raman spectra are reported for $^{11}BH(NH_2)_2$, $^{10}BH(NH_2)_2$, $^{11}BH(ND_2)_2$, and $^{10}BH(ND_2)_2$. A force-const. refinement calcn. using the obsd. frequencies allows the normal coordinates for the planar modes to boranediamine (BDA) to be detd. in terms of independent force consts. One of the 2 symmetry types of the out-of-plane normal coordinates is detd. in terms of 4 independent force consts. The accuracy of the force field is tested by its ability to reproduce transition frequencies of $^{11}BD(ND_2)_2$ and to reproduce obsd. centrifugal distortion consts. of $^{11}BH(NH_2)_2$ and obsd. inertial defects of 8 isotopically substituted species of boranediamine. The results are most consistent with a planar structure for the mol. The B-N stretch force const. is 6.0 mdyn/ \AA and the N-H stretch force const. is 6.8 mdyn/ \AA . These results are consistent with a partial double bond for B-N.

C.A. 1982, 97, n 24

BH(NH₂)₂ Омск. 14563/1982

24 Б298. Микроволновые спектры и молекулярная структура BH(NH₂)₂. Thorpe L. R., Gwinn W. D. Microwave spectra and molecular structure of BH(NH₂)₂. «J. Amer. Chem. Soc.», 1982, 104, № 14, 3822—3827 (англ.)

Измерены в области частот 8—48 ГГц МВ-спектры борандиамина, BH(NH₂)₂ (I) и его 7 изотопич. производных в основном колебательном состоянии. Анализ спектров выполнен в приближении модели жесткого волчка. Вращательные постоянные (I) в (МГц) равны $A=53754,360$ (710), $B=9092,560$ (68), $C=7777,600$ (29). По эффекту Штарка 2-го порядка определен дипольный момент $|\mu|=1,245$ (17) D. Полученные данные использованы для определения эффективной и замещ. молек. структур I. Молекула обладает плоской структурой C_{2v} -симметрии с цис- и транс-положениями атомов водорода аминогруппы относительно направления бор-связанный водород.

С. Н. Мурzin

Х. 1982, 19, N 24

BH(NH₂)₂ (Ogilvie 14563) 1982

197: 30519w, Microwave spectra and molecular structure of boranediamine. Thorne, L. R.; Gwinn, W. D. (Dep. Chem., Univ. California, Berkeley, CA 94720 USA). *J. Am. Chem. Soc.* 1982, 104(14), 3822-7 (Eng). The effective mol. structure of boranediamine, BH(NH₂)₂, was detd. from the microwave spectra of 8 isotopic species. The mol. has planar C_{2v} symmetry with $r(B-H) = 1.193 \pm 0.001 \text{ \AA}$, $r(B-N) = 1.418 \pm 0.001 \text{ \AA}$, $r(N-H_{cis}) = 1.005 \pm 0.005 \text{ \AA}$, $r(N-H_{trans}) = 1.000 \pm 0.003 \text{ \AA}$, $\angle NBN = 122.0 \pm 0.3^\circ$, $\angle BNH_{cis} = 121.1 \pm 0.1^\circ$, and $\angle BNH_{trans} = 123.7 \pm 0.6^\circ$, where the amine hydrogens are cis or trans relative to the B-bonded H. The dipole moment is $1.245 \pm 0.017 \text{ D}$.

NY Crelamp,
CPY 14563-1-
MC 1100184.

C.A. 1982, 97, NY

$(H_3B)_3N^{n+1}$

$(H_2B)_3N^{n+1}$

Copykrypa

Ommeck 16400

1983

Cuthbertson A.F.,
Glidewell Ch.,

J. Mol. Struct., 1983,
92, N3-4, Suppl. "Theo-
chem",  9, N3-4, 253-259

H_2BNH_2

$HB\bar{N}H$

neopen
pacrem
cmykmyr
cmasunbH.

C. A. 1983, 98, N20

1983

98: 167238u. Quantum study of the ground state of a series of unsaturated boron-nitrogen compounds by the MNDO method. I. Geometries and stabilities. Maouche, Boubekeur; Gayoso, Jose (Inst. Chim., Univ. Sci. Technol. Houari Boumed., Alger, Algeria). *Int. J. Quantum Chem.* 1983, 23(3), 891-904 (Eng). A MNDO study of mol. geometries, enthalpies of formation and atomization, bond sepn., and hydrogenation of a series of unsatd. B-N compds., linear with 2 and 3 members and cyclic with 3, 4, 5, and 6 members are presented. For all these mols., MNDO calcns. are in excellent agreement with available ab initio calcns. or exptl. data. The high rotational barrier in aminoborane H_2BNH_2 , 30.6 kcal/mol. and the length of bond in iminoborane $HB\bar{N}H$, 1.183 Å, imply strong double and triple BN bond character in these mols. In the odd membered heterocycles, examn. of the mol. geometries and energies of equil. states shows that in all cases, the stability of the compds. grows with the no. of B atoms and decreases with that of the N atoms. Moreover, compared study of the 2 BN-fulvenes with their homologous hydrocarbon shows that only BN (BB)-fulvene has a polyenic structure similar to that of fulvene.

N(BH₂)₃

1983

15 Б97. Устойчивость и геометрия трибориламинов и соединений, содержащих B₆-циклы. The stabilities and geometries of triborylamines and of compounds containing the B₆ moiety. Neckel A., Polesak H., Regkins P. G. «Inorg. chim. acta», 1983, 70, № 2, 255—259 (англ.)

Квантовохимически проведен анализ устойчивости различных геометрич. конфигураций N(BH₂)₃ и B₆(NH₂)₆. Из сравнения данных, полученных для плоской, плоской с одним скрученным фрагментом BH₂, пирамидальной и двух различных димерных конфигураций, получено, что наиболее устойчивой является структура трибориламина, в к-рой фрагмент N(BH₂)₂ плоский, а третья группа BH₂ повернута таким образом, что ее плоскость ортогональна плоскости фрагмента N(BH₂)₂. Аналогичные расчеты проведены для соединений, содержащих циклы из 6 атомов бора, для плоской скрученной, цепных, октаэдрич. конфигураций и конфигурации «ванны». Установлено, что наиболее устойчивыми конфигурациями таких циклов являются плоский и скрученный B₆-циклы.

В. И. Пергушов

*геометр.,
структур*

(+)

*X. 1983, 19,
N 15*

$(BH_2)_3N$

$B_6(NH_2)_6$

1983

20MEMP.,
Cryokrypa,
Mafentocin

99: 28249f The stabilities and geometries of triborylamines and of compounds containing the B_6 moiety. Neckel, A.; Polesak, H.; Perkins, P. G. (Inst. Phys. Chem., Univ. Vienna, Vienna, Austria). *Inorg. Chim. Acta* 1983, 70(2), 255-9 (Eng). The geometries and relative stabilities are calcd. of some triborylamines and of some systems based on the B_6 ring. The triborylamine $N(BH_2)_3$ possesses a stable structure when 2 of the $N(BH_2)$ units lie in the same plane, while the third is rotated so that the H atoms are orthogonal to the plane. This is more stable than the all-planar structure. The parent compd. $N(BH_2)_3$ is also shown to be intrinsically thermodn. stable. Possible dimeric structures for this triborylamine are more stable than 2 mol of the monomer. However, among the dimers, a structure in which the bridging entities between the units are H atoms is shown to be more stable than one in which the bridging is brought about by the N atoms. The most stable structure in the gas phase of the compd. $B_6(NH_2)_6$ is that in which the B_6 ring adopts a planar configuration. This is more stable than either a chair configuration, a boat configuration or an octahedral cage arrangement of B atoms.

C.A. 1983, 99, 114

HBVNL [Om. 19284] 1984

Spawain.
Czekmp,
Kb. Mex.
pacrem.

De Frees D.J.,
Birkley J.S., et al.,
J. Chem. Phys., 1984,
80, n8, 3720-3725.

BH_2NH_2 1984
Galasso V.

meop.
Pacrem $Z. Chem. Phys.$ 1984,
80 (1), 365-371.

(Ccl. N_2H_4 ; III)

$BH_3 \cdot N_2$ 1984

Garcia-Leigh A.,

Murrell J. N.

pabiokeek.

zuweemp.,

meop.

pacrem.

Croat. chem. acta,

1984(1985), 57, N₆,

879-886.

(cu. $BF_3 \cdot BF$; III)

МВН

ЛМ. 18491

1984

Зюбина Т. С., Чаркиев
О. Н.,

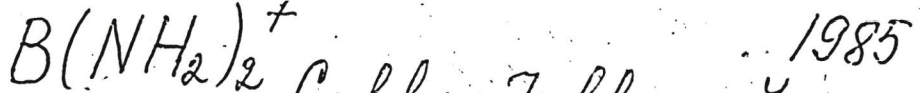
мет. палеом

Энергии

изотермизаций;

Vo

Исследований,
1984, 29, № 3, 598-606.



1985

Coffer Jeffrey D.,
Petersen John D., et al.

reouemps., J. Mol. Struct., 1985,
cūrykm., 122, N 1-2, Suppl.:

Ho; Theochim, 23, N 1-2, 115
-121.

(cu. fl $(NH_2)_2^+$; iii).

$H_2N \cdot BH_2$

(Om 21336)

1985

102: 122330c The infrared spectrum of gaseous aminoborane, $H_2N \cdot BH_2$: location of the fundamentals and rotational structure in the ν_0^1 band (BN stretching vibration at 1337 cm^{-1}): Gerry, M. C. L.; Lewis-Bevan, W.; Merer, A. J.; Westwood, N. P. C. (Dep. Chem., Univ. British Columbia, Vancouver, BC Can. V6T 1Y6). *J. Mol. Spectrosc.* 1985, 110(1), 153-63 (Eng). The IR spectrum of gaseous aminoborane, $H_2N \cdot BH_2$ was obsd. for the 1st time, following controlled thermal decompn. of $NH_3 \cdot BH_3$ in a flow system. The positions of the 9 vibrational fundamentals lying above 800 cm^{-1} was detd. from medium-resoln. Fourier transform spectra, and the rotational structure of the ν_4 fundamental (the BN stretching vibration at 1337.474 cm^{-1}) was studied at high resoln. The ν_4^1 level is extensively perturbed, and anal. of the perturbations permitted the positions of the 3 lowest-lying fundamentals (which are either IR inactive or below the wave no. range of the spectrometer) to be estd. An accurate set of rotational consts. for the ground level of the mol. was obtained.

UK CREEP,
Di;

C. A. 1985, 102, N 14.

$H_2N = BH_2$

(Om. 21336) 1985

18 Б1270. Инфракрасный спектр газообразного аминоборана ($H_2N=BH_2$): отнесение основных полос и вращательная структура полосы 4_0^1 валентного колебания связи BN при 1337 см^{-1} . The infrared spectrum of gaseous aminoborane, $H_2N=BH_2$: location of the fundamentals and rotational structure in the 4_0^1 band (BN stretching vibration at 1337 cm^{-1}). Gerry M. C. L., Lewis-Bevan W., Megg A. J., Westwood N. P. C. «J. Mol. Spectrosc.», 1985, 110, № 1, 153—163 (англ.)

На фурье-спектрометрах с разрешением $0,05$ и $0,004 \text{ см}^{-1}$ исследован ИК-спектр поглощения молекулы NH_2BH_2 , полученной термич. разложением молекулы NH_3BH_3 при 400° С . Идентифицированы полосы основных колебаний. Выполнен анализ вращат. структуры полосы ν_4 при 1337 см^{-1} . Определены значения вращат. постоянных и постоянных квартичного центробежного искажения. Обнаружена запрещенная полоса $\nu_6 (A_2)$ в обл. $700—830 \text{ см}^{-1}$, появление к-рой обусловлено кориолисовым резонансом.

Е. В. Алиева

X. 1985, 19, N 18

$H_2N = BH_2$ [Dm. 21336] 1985

9 Л178. ИК-спектр поглощения газовой фазы $H_2N = BH_2$: частоты фундаментальных полос и вращательная структура полосы ν_4 (1337 см^{-1}). The infrared spectrum of gaseous aminoborane, $H_2N = BH_2$: Location of the fundamentals and rotational structure in the 4_0^1 band (BN stretching vibration at 1337 см^{-1}). Гег-
ту М. С. Л., Lewis-Bevan W., Мегег А. Ж., Westwood N. P. C. «J. Mol. Spectrosc.», 1985, 110,
№ 1, 153—163 (англ.)

С разрешением $0,05 \text{ см}^{-1}$ получен ИК-спектр поглощания $H_2N = BH_2$. Измерены положения и дана интерпретация 9 колебательно-вращательных полос в области 700 — 3900 см^{-1} . С более высоким разрешением ($0,004 \text{ см}^{-1}$) получены спектры полос $\nu_4 A_1$ (с началом $\nu_0 = 1337,474 \text{ см}^{-1}$) и $\nu_1 A_1$, $\nu_9 B_2$ ($\sim 3500 \text{ см}^{-1}$) и дан анализ вращательной структуры полосы ν_4 . Отмечено, что структура различных подполос в ν_4 возмущена взаимодействиями Ферми и Кориолиса; для ряда слу-

Д. И. М. Н.

о. 1985, 18, №

чаев дана оценка имеющихся возмущений. По измеренным частотам вращательных линий в полосе v_4 (частично и v_9) и литер. данным по микроволн. спектру $\text{H}_2\text{N}^{11}\text{BH}_2$ рассчитаны комбинационные разности для уровней с $K \leq 10$ и $J \leq 30$, по которым с большой точностью определены вращательные постоянные основного (и некоторые постоянные возбужденного 4^1) состояний.

В. К.



Om. 23464

1985

H₂NBH₂

Westwood N.P.C.,
Westfield N.H.,

mcop-
macem

J. Amer. Chem. Soc.
1985, 108, N5, 891-894.

BNL

[09-24195]

1986

pacem

Енголд

Барсар

ЧЗО.шер

Чаркиев О.Н.,
Зюбина Т.С.

Координаты, хицесс,
1986, 12, N 8, 1011-1037.

BH₂·NH₂ [Om. 23582] 1986

BH(NH₂)₂ Ha Tae-Kyu,

J. Mol. Struct. Theo-
chem, 1986, 136, Nt-2,
meop
pacem
165- 176.

$\text{HB}-\text{NH}$

$\text{H}_2\text{B}-\text{NH}_2$

М.Н.

1986

12 Б1029. Неэмпирическое исследование электронной структуры и энергии иминоборана, аминоборана и их димеров. Ab initio studie elektronových struktur a energií iminoboránu, aminoboránu a jejich dimerů / Hálová Olga // Sb. USCHT Praze. Р.— 1986.— 9.— С. 5—16.— Чеш.; рез. англ.

Неэмпирическим методом ССП при фиксированных длинах связей проведен расчет молекул $\text{HB}-\text{NH}$ (I), $\text{H}_2\text{B}-\text{NH}_2$ (II) и их димеров. Миним. энергией обладает линейная форма I и плоская форма II. Циклич. димер I симметрии D_{2h} имеет $R(\text{B}-\text{N})=0,1630$ нм, энергия стабилизации равна 163 ккал/моль. Циклич. димер II с атомами водорода, лежащими в плоскости, перпендикулярной плоскости цикла, имеет энергию стабилизации 235 ккал/моль.

В. А. Болотин

Х. 1989, N 12.

NH_2BH_2

(On 28455)

1986

105: 232661f Estimated core electron binding energies and their application in the interpretation of valence ionization potentials. Jolly, William L. (Dep. Chem., Univ. California, Berkeley, CA 94720 USA). *J. Phys. Chem.* 1986, 90(26), 6790-3 (Eng). Empirical group shifts for estn. of the core electron binding energies of compds. of 14 elements are evaluated. For elements of the 1st row of the periodic table, simple 1-parameter group shifts are inadequate for estg. core binding energies of highly pos. charged atoms with polarizable ligands. In the case of C 1s binding energies, a method involving 2 parameters - an "electronegativity" parameter and a "polarizability" parameter - is devised which significantly improves the accuracy of the predictions. The N 1s binding energies of the aminoboranes, NH_2BH_2 , $N(CH_3)_2BF_2$, $NH(CH_3)BF_2$, and NH_2BF_2 , are estd. These data, when combined with the N $p\pi$ ionization potentials, leads to the conclusion that there is an important degree of N-B π bonding in all of these mols.



C.A. 1986, 105, N 26

N_2BH_3

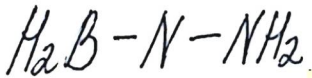
Om 24999 1986

106: 90504b Ab-initio study of the structure of boradiazirine.
Kanev, I.; Monev, V. (Inst. Org. Chem., 1040 Sofia, Bulg.). *Dokl. Bolg. Akad. Nauk* 1986, 39(8), 49-51 (Eng). For boradiazirine (I) (N_2BH_3) [i.e., diazaboriridine], the mol. structure, total energy, and dipole moment were obtained in ab-initio MO calcns. with STO-3G and 4-31G basis sets. The nonplanar mol. structure (C_s symmetry) of I is more stable than the planar structure (C_{2v} symmetry). The N-connected H atoms lie considerably above the ring plane, and the BH bond is only slightly under the ring plane.

meoren-
pacrem
cnpykrypt



C.A. 1987, 106, n12



1986

16 Б1037. Капто-дативная стабилизация пуш-пульных радикалов с центром на азоте. Изучение неэмпирическим методом ССП. Capto-dative stabilization in nitrogen-centred push-pull radicals: an ab initio CSF-MO study. Kost Daniel, Raban Morton, Aviram Kalman. «J. Chem. Soc. Chem. Commun.», 1986, № 4, 346—348 (англ.)

Неограниченным методом Хартри-Фока в базисе 4-31ГФ оптимизированы геометрии борилгидразильного $\text{H}_2\text{B}-\text{N}-\text{NH}_2$ (I) и формилгидразильного $\text{HCO}-\text{N}-\text{NH}_2$ (II) радикалов. Найдено, что равновесная конфигурация II планарная (C_s), а I — неплоская (симметрия C_s , однако атомы Н аминогруппы не лежат в плоскости NNCHO). Барьер вращения вокруг связи NN в II составляет 20,6 ккал/моль, барьер инверсии через конформации с линейной группировкой NNC превышает 30 ккал/моль.

В. Я. Беспалов

комптр., спр.,

Ию

X. 1986, 19, N 16

NH_2BH_2

NH_3BH

1987

106: 185041n Theory and experiment in concert: evidence for stable ammoniaborane dication ($\text{H}_3\text{NBH}_2^{2+}$). Drewello, Thomas; Soch, Wolfram; Lebrilla, Carlito B.; Stahl, Daniel; Schwarz, Helmut (Inst. Org. Chem., Tech. Univ. Berlin, D-1000 Berlin, 12 Fed. Rep. Ger.); *J. Am. Chem. Soc.* 1987, 109(10), 2922-4 (Eng). The potential energy surfaces of the mono- and dications of NH_2BH_2 and NH_3BH were explored by high level ab initio calcs. Although 2 min. were located on either surface, corresponding to $\text{NH}_2\text{BH}_2^{2+}$, $\text{NH}_3\text{BH}^{2+}$, $\text{NH}_2\text{BH}_2^{2+}$, and $\text{NH}_3\text{BH}^{2+}$, the theor. anal., in conjunction with charge stripping mass spectrometry, suggested that the only dication formed is that of $\text{NH}_3\text{BH}^{2+}$, requiring a Q_{\min} value of 15.2 eV. $\text{NH}_3\text{BH}^{2+}$ is predicted to be 60.6 kcal/mol more stable than $\text{NH}_2\text{BH}_2^{2+}$ which is due to the powerful donor/acceptor interactions operative in $\text{NH}_3\text{BH}^{2+}$. Comparison of the $\text{BNH}_1^{2+}/\text{BNH}_1^{2+}$ with electronic $\text{CaHe}^{2+}/\text{C}_2\text{H}_4^{2+}$ is made.

(ab initio
pacem,
ca ageribus
notos)

c.a. 1987, 106, N22

HBNH

H₂BNH₂

IC ICX guic

NH

ab initio
pacem

1987

111: 45490m Ab initio study of electronic structure and energy of iminoborane, aminoborane, and their dimers. Halova, Olga (VSCHT, Czech.). *Sb. Vys. Sk. Chem.-Technol. Praze, Fyz. Mater. Merici Tech.* 1986 (Pub. 1987). P9, 5-16 (Czech). Total electronic energy of mols. contg. besides B and H atoms also N atoms was calcd. The simplest types are: iminoborane HB-NH, aminoborane H₂B-NH₂ and their dimers in several various structural configurations. From charge distribution follows the polar nature of all considered mols. Dimerization contributes little to polarization.

C.A. 1989, III, n6

$BH_3 \cdot NH_3$

1987

III: 28744e Calculation of electronic structure of the molecule of borazane (BH_3-NH_3). Halova, Olga (VSCHT, Prague, Czech.). *Sb. Vys. Sk. Chem.-Technol. Praze, Fyz. Mater. Merici Tech.* 1986 (Pub. 1987). P9, 17-24 (Czech). The structure and charge distribution in borazane BH_3-NH_3 were studied by non-empirical SCF-MO method by means of Gaussian AOs. The total electronic, energy of the borazane was calcd. in dependence on the B-N bond length. Polarity and dipole moment of the borazane in two geometrical configurations were detd.

(*ан. скрытый*)
MOP. pacem

C.A. 1989, III, N 4

$B_2 N_2 H_4$

1987

Jouany C., Barthelat J.C.,
et al.

cp.n.

Chem. Phys. Lett., 1987,
136, N1, 52-58.

(see $B_2 H_2$; III)

$B_2 NH_3$

1987

Jeanany C., Barthelat
J.C., et al.

et al.
Chem. Phys. Lett., 1987,
136, N° 1, 52 - 58.

(see  $B_2 H_2$; III)

H_3B_2N

1987

Jouany C., Barthelat
J. C., et al.

u.r.

Chem. Phys. Lett., 1987,
136, N 1, 52-56.

($c_{ii} H_2B_2$; iii)

HBNH

№ 28751

1987

7 Л213. Детектирование HBNH методом ИК диодной лазерной спектроскопии. Detection of HBNH by infrared diode laser spectroscopy. Kawashima Yoshiuki. «J. Chem. Phys.», 1987, 87, № 11, 6331—6333 (англ.)

С помощью ИК диодного лазерного спектрометра получен спектр поглощения молекул HBNH, образующихся в плазме тлеющего электрич. разряда в смеси $B_2H_6-NH_3-He$ (0,06—0,12—0,12 мм рт. ст.). Зарегистрировано 18 переходов P - и Q -ветвей полосы ν_3 в области 1759—1822 cm^{-1} для $H^{11}BNH$ и 12 переходов в области 1788—1854 cm^{-1} до $H^{10}BNH$. Определены основная частота, константа центробежного искажения и вращательная постоянная моды ν_3 основного состояния обоих изомеров. Попытка получить чисто вращательный спектр HBNH в микроволн. области не удалась, предположительно — вследствие малости дипольного момента молекулы — ($<0,1 D$). Библ. 33.

С. В. Литке

М.Н.

φ 1988, 18, № 7

HBNH

ом 28751

1987

13 Б1312. Обнаружение HBNH методом инфракрасной полупроводниковой лазерной спектроскопии. Detection of HBNH by infrared diode laser spectroscopy. Kawashima Y., Kawaguchi K., Hirota E. «J. Chem. Phys.», 1987, 87, № 11, 6331—6333 (англ.)

Измерена (полупроводниковый лазерный спектрометр) вращат. структура полосы ν_3 молекул $H^{11}BNH$ и $H^{10}BNH$ в диапазоне 1755—1860 см^{-1} . Молекулы HBNH образовывались в плазме разряда переменного тока через смесь диборана и аммиака в гелии (парц. давл., соотв., 0,06; 0,12 и 0,12 мм) или смесь диборана с окисью азота. Начало полосы, ν_0 , и значения вращат. постоянных B'' , D'' , B' , D' (в см^{-1}): $H^{11}BNH$ — 1786,1931; 1,09934; $1,7 \cdot 10^{-6}$; $1,09348$; $1,7 \cdot 10^{-6}$; $H^{10}BNH$ — 1823,4011; 1,13490; $1,9 \cdot 10^{-6}$; 1,12883; $1,9 \cdot 10^{-6}$; постоянная колебательно-вращат. взаимодействия $a_3 = 5,856 \cdot 10^{-3} \text{ см}^{-1}$. Величина ν_3 сопоставлена с полу-

м.н.

X.1988, 19, N 13

ченной методом ИК-спектроскопии для HBNH в Аг-матрице, а также с данными неэмпирич. расчетов. Используя значения $R(B-H)$ и $R(N-H)$, найденные в неэмпирич. расчетах и эксперим. значение B , рассчитано $R(B-N) = 1,2381 \text{ \AA}$. Предпринята попытка получить чисто вращат. спектр поглощения в предсказанном диапазоне ($\sim 66 \text{ ГГц}$). Неудача связывается с низкой величиной дипольного момента молекулы (по оценкам $< 0,1 \text{ D}$). В. М. Ковба



HBNH

1987

108: 64897d Detection of iminoborane(HBNH) by infrared diode laser spectroscopy. Kawashima, Yoshiyuki; Kawaguchi, Kentarou; Hirota, Eiji (Ikutoku Tech. Univ., Atsugi, Japan 243-02). *J. Chem. Phys.* 1987, 87(11), 6331-3 (Eng). The IR spectrum of a transient species HBNH was obsd. in the gas phase using a diode laser spectrometer. The HBNH mol. is formed in an a.c. discharge plasma of a B₂He/NH₃ or B₂He/NO mixt. The ν_3 band origin and the rotational consts. of H¹¹B₂NH are $\nu_0 = 1786.193\ 08(72)$, $B_0 = 1.09$, 335(81), and $B_3 = 1.093\ 481(72)\ \text{cm}^{-1}$, with 3 std. deviations in parentheses. The ν_3 band of H¹⁰B₂NH was also obsd. and analyzed.

UK, Di, fra -
usam · no cm ·

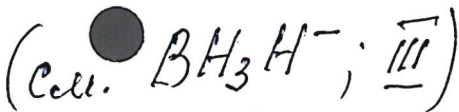
C.A. 1988, 108, n8



1987

Oreassas f.,
El ouuktadi ill., et al..

meop. THEOCHEM 1987, 37
paerem (3-4), 255-60.



NH_3 BH_2

1987

§ 10 Д146. Структура системы аммиак — борильный радикал (BH_2NH_3) неорганического аналога этильного радикала. Неэмпирическое исследование. The structure of the ammonia — boryl radical (BH_2NH_3), an inorganic analogue of the ethyl radical. A non empirical study. Russo Nino, Subra Robert, Toscano Marilosa, Bagone Vincenzo. «J. Mol. Struct. Theochem», 1987, 151, 365—371 (англ.)

Неэмпирическим методом ССП МО ЛКАО в рамках неограниченного хартри-фоковского подхода в базисе 6-31ГФ* исследовано электронное строение системы аммиак — борильный радикал (BH_2NH_3) (I). Приведены равновесная геометрия различных конформаций, потенц. кривая для вращения вокруг связи B-N. Обнаружено, что энергии конформеров близки друг к другу. Пирамидализация радикальной группы BH_2 в I больше, чем группы CH_2 в этильном радикале и CH_2NH_3 . Обнаружено, что инверсия по радикальному центру харак-

и.н.

phi. 1987, 18, N 10

тёризуется довольно большим барьером (19 кДж/моль),
тогда как барьер внутреннего вращения невелик (око-
ло 5 кДж/моль), т. е. не должно быть сильной связи
между внеплоскостной деформацией и внутренним вра-
щением.

В. Л. Лебедев



BH_2NH_3

1987

107: 103059h The structure of the ammonia-boryl radical (BH_2NH_3), an inorganic analogue of the ethyl radical. A non empirical study. Russo, Nino; Subra, Robert; Toscano, Marirosa; Barone, Vincenzo (Dip. Chim., Univ. Calabria, I-87030 Arcavacata di Rende, Italy). *THEOCHEM* 1987, 36, 365-71 (Eng). The structure of the ammonia-boryl radical (BH_2NH_3) was studied at the UHF-SCF level employing the 6-31G* basis set. Complete geometry optimization was performed on various possible conformations and the results suggest that the distortion of the BH_2 group is higher than the corresponding distortion of the CH_2 group in the isoeléctronic CH_2CH_3 and CH_2NH_3 radicals. The results confirm the interpretation of the ESR spectrum, which assumes a nonplanar B radical center.

nonemp
complexe

c.a. 1987, 107, n/2

BH_2NH_3

01.27.100 1987

21 Б1021. Структура аммоний-борильного радикала BH_2NH_3 , неорганического аналога этильного радикала. Неэмпирическое исследование. The structure of the ammonia-boryl radical (BH_2NH_3), an inorganic analogue of the ethyl radical. A non empirical study. Russo Nino, Subra Robert, Toscano Marigosa, Bagone Vincenzo. «J. Mol. Struct. Theochem.», 1987, 151, 365—371 (англ.)

Неограниченным методом ССП в базисе 6—31 ГФ* изучена структура радикала BH_2NH_3 . Проведена полная оптимизация геометрии. Наиболее устойчивой найдена шахматная конформация, с почти тетраэдрической структурой радикального центра BH_2 . Степень пирамидализации группы BH_2 больше, чем группы CH_2 в изоэлектронных радикалах CH_2CH_3 и CH_2NH_3 . Найдено, что возможно почти свободное вращение вокруг связи $\text{B}-\text{N}$, однако инверсия радикального центра имеет барьер 19 кДж/моль. Теор. результаты хорошо согласуются с данными ЭПР в матрицах.

Н. В. Харчевникова

Х. 1987, 19, № 21

BH₂NH₂

1987

С'11 Л186. Микроволновый спектр и структура молекулы аминоборана (BH_2NH_2). Microwave spectrum and molecular structure of aminoborane, BH_2NH_2 . Sugi Masaaki, Takeo Nagatoshi, Matsumura Chi. *J. Mol. Spectrosc.*, 1987, 123, № 2, 286—292 (англ.).

В диапазоне 8—52 ГГц исследованы МВ-спектры 5 изотопич. разновидностей молекулы BH_2NH_2 . Идентифицированы линии вращательных переходов с $J < 30$ в основном колебательном состоянии, а также квадрупольная СТС ряда линий. Определены значения вращательных постоянных, постоянных квартичного центробежного искажения и постоянных квадрупольной связи ядер азота и бора. Вычислены структурные параметры: $BN = 1,391$, $BH = 1,195$, $NH = 1,004$ Å, $N\bar{H}N = 122,2^\circ$, $\bar{H}NH = 114,2^\circ$.

М. Р. Алиев

сф. 1987, 18, № 11

BH₂NH₂

1987

21 Б1291. Микроволновый спектр и молекулярная структура аминоборана, BH₂NH₂. Microwave spectrum and molecular structure of aminoborane, BH₂NH₂. Sugie M., Takeo H., Matsumura C. «J. Mol. Spectrosc.», 1987, 123, № 2, 286—292 (англ.)

На автоматизированном штарковском микроволновом (МВ) спектрометре в обл. частот 8—52 ГГц измерены вращат. спектры пяти изотопич. образцов аминоборана, BH₂NH₂, ¹⁰BH₂NH₂, BH₂¹⁵NH₂, BD₂NH₂ и BH₂ND₂, в основном колебат. состоянии. Анализ МВ-спектров выполнен с учетом квартичного и секстичного центробежного искажения, B- и ¹⁴N-ядерных квадрупольных взаимодействий. Для нормального изотопич. образца определен дипольный момент $\mu_a = 1,844(15)$ D. С учетом расчетов МО установлена симметрия C_{2v} молекулы в равновесном состоянии. На основе полученных МВ-данных определена полная замещенная структура молекулы $r(BN) = 1,391(2)$ Å, $r(BH) = 1,195(4)$ Å, $r(NH) = 1,004(2)$ Å, $\angle HBH = 122,2(2)^\circ$, $\angle HNH = 142,2(2)^\circ$.

С. Н. Мурзин

Х. 1987, 19, № 21

$BH_2 NH_2$

1987

[107: 14841q Microwave spectrum and molecular structure of aminoborane, BH_2NH_2 . Sugie, Masaaki; Takeo, Harutoshi; Matsumura, Chi (Natl. Chem. Lab. Ind., Yatabe, Japan 305). *J. Mol. Spectrosc.* 1987, 123(2), 286-92 (Eng). The microwave spectra of 5 isotopic species of BH_2NH_2 were obsd. The rotational consts., centrifugal distortion consts., and nuclear quadrupole coupling consts. of ^{11}B and ^{14}N were detd. from the spectra. The planarity and symmetry of the mol. were confirmed by the measurements of inertia defects, dipole components, and statistical spin wt. due to the 4 H nuclei. The complete r_s structure detd. from the rotational consts. is: $r(BN) = 1.391(2)$ Å, $r(BH) = 1.195(4)$ Å, $r(NH) = 1.004(2)$ Å, $\angle H B H = 122.2(2)^\circ$, and $\angle H N H = 114.2(2)^\circ$.

(MB CREEKING)
CNAUZENYR.
LAPANLEMP

c.A.1987, 107, n2

BH_2NH_2 (Om-d6863) 1987

Sugie M., Takeo H., et al.,

ИФ спектр, J. Mol. Spectrosc., 1987,
исследован. структура 123, N₂, 286 - 292.

N.Bffz

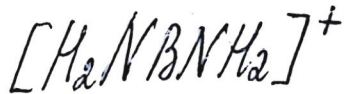
[om. 29836]

1988

Forcada M.L., Moscardó F.
et al.,

meop. Uccleq.
emoduvan.

J. Mol. Struct. Theochem.,
1988, 166, 293-299.



1988

111: 121240x Electronic structure and bonding in diamidoboron cations. A molecular orbital study of diamidoboron(1+) $[H_2NBNH_2]^+$. Silaghi-Dumitrescu, Ioan; Haiduc, Ionel (Chem. Dep., Babes-Bolyai Univ., R-3400 Cluj-Napoca, Rom.). *Rev. Roum. Chim.* 1988, 33(9-10), 851-6 (Eng). For $(H_2NBNH_2)^+$ (I), the total energy, MO shapes, MO electron populations, Wiberg bond indexes, and B-N force const. and vibrational frequency were obtained in EHMO and CNDO/2 calcns. In I, the HOMO's are π -type, and the conformation is D_{2d} allene-type.

21 · СПРУКСА
Хен · Белт
МДР · Гачев

C.A. 1989, III, N 14

$BH_4 N^+$ om. 30490 1988
 $(BH_2 NH_2 NH_2^+)$ Jacobc et. al.,

Ti, Pi; J. Phys. and Chem. Ref.
Data, 1988, 17, No, 468.

H_2NBNH_2

от. 30293

1988

У4 Б1043. Электронная структура и связывание в диамидоборных катионах. Исследование методом молекулярных орбиталей $[H_2NBNH_2]^+$. Electronic structure and bonding in diamidoboron cations. A molecular orbital study of $[H_2NBNH_2]^+$ / Silaghi-Dumitrescu Ioan, Haiduc Ionel // Rev. roum. chim.— 1988.— 33, № 9—10.— С. 851—856.— Англ.

Расширенным методом Хюккеля и методом ППДП/2 проведены расчеты плоской D_{2h} (I), алленоподобной D_{2h} (II) и неплоской C_{2h} (III) конформаций катиона H_2NBNH_2 . Найдено, что конформер II на 11 ккал/моль более стабилен, чем I, к-рый в свою очередь существенно стабильнее конформера III. Более высокая стабильность II объяснена более эффективным π -связыванием в нем. Анализ индексов Уайберга в II свидетельствует о существенном вкладе π -связывания в связь BN. Порядок связи BN очень хорошо согласуется с оценкой силовой постоянной этой связи по ф-ле Зиберта (см. // Z. anorg. allg. Chem.— 1953.— 273.— С. 170; 1953.— 274.— С. 24, 34). И. Н. Сенченя

И.Н.

Х. 1989, № 4

NH₄BH₄

1989

5 Б1092. Теоретическое исследование нежесткого вращения тетраэдрических катиона и аниона в молекуле NH₄BH₄ / Баранов Л. Я., Чаркин О. П. // Ж. структур. химии.— 1989.— 30, № 5.— С. 27—34.— Рус.

В приближениях ССП/3-21Г (с полной оптимизацией геометрии) и МПЗ/6-31Г* (для особых точек) рассчитаны участки потенциальной Пв молекулы NH₄⁺ BH₄⁻, отвечающие нежестким движениям катиона NH₄⁺ и аниона BH₄⁻ относительно друг друга. Показано, что барьеры этих движений малы (несколько килокалорий) и молекула является очень нежесткой к некоторым типам внутримолек. вращений (вокруг связи B—N; с изменением дентатности катиона и аниона; повороты их, способствующие образованию одних и разрыву других связей H₃N—H...H—BH₃). Обсуждена сильная геометрич. деформация ионов NH₄⁺ и BH₄⁻, поляризация у них электронной плотности, взаимодействие H—H между атомами водорода, принадлежащими разным ионам. Подчеркнуто, что структурная нежесткость молекулы NH₄BH₄ тесно связана с ее стабильностью к распаду.

Резюме

M.P.

X. 1990, N 5

1989

NH_4BH_4

2 Д75. Теоретическое исследование нежесткого вращения тетраэдрических катиона и аниона в молекуле NH_4BH_4 / Баранов Л. Я., Чаркин О. П. // Ж. структур. химии.— 1989.— 30, № 5.— С. 27—34

В приближениях ССП/3—21ГФ (с полной оптимизацией геометрии) и МПЗ/6-31ГФ* (для особых точек) рассчитаны участки потенц. поверхности молекулы $\text{NH}_4^+\cdot\text{BH}_4^-$, отвечающие нежестким движениям катиона NH_4^+ и аниона BH_4^- относительно друг друга. Показано, что барьеры этих движений малы (несколько килокалорий), и молекула является очень нежесткой к некоторым типам внутримолекулярных вращений (вокруг связи $\text{B}-\text{N}$; с изменением дентатности катиона и аниона; повороты их, способствующие образованию одних и разрыву других связей $\text{H}_3\text{N}-\text{H} \dots \text{H}-\text{BH}_3$). Обсуждаются сильная геометрич. деформация ионов NH_4^+ и BH_4^- , поляризация у них электронной плотности, взаимодействие $\text{H}-\text{H}$ между атомами водорода, принадлежащими разным ионам. Подчеркнуто, что структурная неустойчивость молекулы NH_4BH_4 тесно связана с вопросами ее стабильности к распаду.

Резюме

М.И.

ф. 1990, № 2

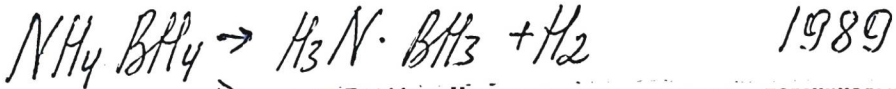
NH_4BH_4

1989

112: 105146m Theoretical study of nonrigid rotations of the tetrahedral cation and anion in the ammonium tetrahydroborate molecule. Baranov, L. Ya.; Charkin, O. P. (Inst. Nov. Khim. Probl., USSR). *Zh. Strukt. Khim.* 1989, 30(5), 27-34 (Russ.). The potential energy surface for NH_4BH_4 is studied by nonempirical methods. It is related to the relative nonrigid rotations of NH_4^+ and BH_4^- ions in the mol. Strong deformation is considered for both ions as well as the polarization of the electron d. and the H-H interion interaction.

maaren

c.A.1990, 112, n12



23 Б1144. Неэмпирические расчеты потенциальной поверхности распада молекулы NH_4BH_4 / Баранов Л. Я., Чаркин О. П. // Ж. неорган. химии.—1989.—34, № 8.—С. 1928—1934.—Рус.

Выполнены неэмпирические расчеты (с полной оптимизацией геометрии в приближении ССП/3-21Г и уточнением особых точек в приближении ПМЗ/6-31Г) потенциальной Пв, переходного состояния, энергетических барьера и пути распада мономолек. распада борогидрида аммония $\text{NH}_4\text{BH}_4 \rightarrow \text{H}_3\text{N}\cdot\text{BH}_3 + \text{H}_2$. Рассмотрены наиболее вероятные механизмы распада этой молекулы, которая энергетически нестабильна к распаду (37 ккал ССП/3-21Г). Барьер на пути распада мал либо вовсе отсутствует. Показано, что перестройка $\text{NH}_4^+\text{BH}_4^-$ (солеобразная структура) $\rightleftharpoons \text{H}_3\text{N} \dots \text{H} \dots \text{H} \dots \text{BH}_3$ (переходное состояние) $\rightleftharpoons \text{H}_3\text{N} \dots \text{H} = \text{H} \dots \text{BH}_3$ («молек. комплекс») $\rightleftharpoons \text{H}_3 + \text{H}_2 + \text{BH}_3$, сопровождается весьма ма-

и.и.

ОМ

X.1989, N 23

лыми изменениями энергии и что в «молек. комплексе» $\text{H}_3\text{N} \dots \delta^+\text{H}-\text{H}^{\delta-} \dots \text{BH}_3$ (к-рый включает в себя молекулу водорода H_2 , расположенную между донорным и акцепторным атомами N и B), связь H—H поляризована и активизирована (ослаблена). Сделано предположение, что аналогичная активация м. б. характерна и для др. связей при внедрении их между донорным и акцепторным атомами.

Резюме



H_nBNH_7

$n=1,2,3$

*ab initio,
Di, Cmpgrks.*

On 31564

1989

110: 47475p Ab initio study of the vibrational frequencies of aminoboranes (H_nBNH_n ($n = 1,2,3$)) and related compounds. Brint, Paul; Sangchakr, Benchang; Fowler, Patrick W. (Dep. Chem., Univ. Coll., Cork, Ire.). *J. Chem. Soc., Faraday Trans. 2* 1989, 85(1), 29-37 (Eng). The equil. geometries and vibrational frequencies of the H_nBNH_n ($n = 1-3$) mols. were calcd. at the SCF level using a 4-31G** basis set. Comparative calcns. were carried out for the isoelectronic hydrocarbons. H_3BNH_3 was treated at the correlated 2nd-order Moeller-Plesset level, with anal. calcn. of 2nd derivs. The B-N stretching vibration in H_3BNH_3 is poorly described at the SCF level and shifts from 604 to 679 cm^{-1} on inclusion of electron correlation. Over the whole set of mols., calcd. SCF harmonic frequencies are uniformly higher than the exptl. fundamentals by 10%, with a few exceptions that lead to proposed reassessments of some spectroscopic bands. A correlation between BH stretching frequency and nominal hybridization was detd. and its application to some related compds. discussed.

C.A.1989, 110, N.6

М \bar{n} BNH $_n$
(n=1,2,3)

от 31564 1989

/16 Б1056. Неэмпирическое исследование частот колебаний H $_n$ BNH $_n$ (n=1,2,3) и родственных соединений. Ab initio study of the vibrational frequencies of H $_n$ BNH $_n$ (n=1,2,3) and related compounds / .Brint P., Sagehakr B., Fowler P. W. // J. Chem. Soc. Faraday Trans. Pt. 2.— 1989.— 85, № 1.— С. 29—37.— Англ.

В приближении ССП/4—31ГФ** найдены равновесные геометрич. параметры и частоты колебаний молекул H $_n$ BNH $_n$ и изоэлектронных им молекул H $_n$ CCH $_n$ (n=1,2,3). Св-ва молекулы H $_3$ BNH $_3$ были рассчитаны также во 2-м порядке теории возмущений по Меллеру—Плессету. Учет электронной корреляции привел к укорочению на 0,03 Å теорет. межъядерного расстояния B—N, возрастанию теорет. силовой постоянной f (B—N) и соотв. частоты (от 604 до 679 см $^{-1}$). Обсуждены отнесения полос в колеб. спектрах молекул H $_n$ BNH $_n$, некоторые отнесения исправлены. Установлена корреляция между величиной частоты вал. кол. B—H и типом гибридизации атома бора в молекуле.

В. Г. Соломоник

Х.1989, N16

NH₂Bf₂ (Om. 32041)

1989

ab initio
pacem
g.

Ortiz J.V.,

Chem. Phys. Lett.,
1989, 156, N5,
489-493

An electron propagator

Study of bonding in
aminoborane.

NH₄BH₄

1990

114: 12357Sw Theoretical study of the structural nonrigidity, stability and hydrogen bonding in molecules of hydride and hydride fluoride salts EX₄AZ₄ (E = N, P, A = B, Al, X = H and Z = H, F). Baranov, L. Ya.; Charkin, O. P. (Inst. Nov. Khim. Probl., Chernogolovka, USSR). *Zh. Neorg. Khim.* 1990, 35(11), 2888-98 (Russ). Nonempirical calcns. are presented of NH₄BH₄, NH₄AlH₄, PH₄BH₄, PH₄AlH₄, NH₄BF₄, NH₄AlF₄, and PH₄BF₄ for different orientations of tetrahedral anions and cations. Intramol. rotation barriers and dissociation heats are evaluated for these salts.

Facem

envelope

do

C.A. 1991, 114, N 14

$\text{H}_4\text{B}_2(\text{NH}_2)_2$

1991

Cao Yang, Wang
You-Liang.

Сингапур - Гаогэji ch0эcэ0 хуасюе.
Chem. J. Chin. Univ. 1991.
nypc, 12, N3. C. 353-355.
наим

(C.I.  B_2H_6 ; I)

$\text{BH}(\text{NH})_2$

1991

20 Б1028. Структура и энергия ароматических и антиароматических трехчленных гетероциклов, содержащих атом бора. Struktura a energie aromatických a antiaromatických tříčlenných heterocyklů obsahujících atom bóru /Hálová Olga //Sb. VŠCHT Praze. Р.—1991.—12.—C: 5—14.—Чеш.; рез. англ.

Неэмпирическим методом ССП МО в базисе ОСТ-ЗГФ оптимизированы геометрии борсодержащих гетероциклов — $\text{BH}(\text{CH})_2$, $\text{NH}(\text{BH})_2$ и четырех конформеров $\text{BH}(\text{NH})_2$, а также планарной и неплоской конформации азирина $\text{NH}(\text{CH})_2$. Рассчитаны распределения заряда в изученных молекулах и дипольные моменты. В. Я. Беспалов

III-11

A

X. 1992, N 20

BNH

1991

Sara Michel, Yeroy G.

11.12,

J. Mol. Struct. Theochem.

1991, 226, N3-4. C. 30% -

$A_f H$

325.

(corr.  LiH; $\overset{T}{\text{N}}$)

$B(NH_2)_2^+$ Schneider William F.,
Narula Chaitanya K., et al.
1991

Cmpyk-
mypy,
pacrem

Inorg. Chem. 1991. 30,
N 20. C. 3919-3927.



BH_3NH_3

[OM. 36587]

1991

BH_3NH_3 Vormann K., Dreizler H.,

fragenz. Z. Naturforsch. 1991,

check

derivat Yba, 1060 - 1062.

isotop

isotop-rotational

typ borane



spectrum of
monoammoniate!

Boron and Nitrogen Hyperfine
Structure and Vibrational
Structure.

$B^{14}NH$

Om. 37431 (

1992

$B^{15}NH$

$B^{14}ND$

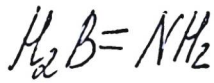
Knight L.B., Z., Herlong J.O.,
Kirk T.J., et al.,

H. CAMP

Nature - J. Chem. Phys., 1992, 96(8), 5604 -
5613.

Laser vaporization generation of
 $B^{14}NH$, $B^{15}NH$, $B^{14}ND$, $B^{16}D$, and

B¹⁷O: Electron-spin-resonance investigation in neon matrices under ultra-cold trapping conditions.



1992

1 Б 1025. Неэмпирическое исследование образования $H_2B=NH_2$ из NH_3 и B_2H_6 . Ab initio study of the formation of $H_2B=NH_2$ from NH_3 and B_2H_6 /McKee Michael L. //J. Phys. Chem.—1992.—96, № 13.—С. 5380—5385.—Англ.

В рамках теории возмущений Мёллера—Плессета второго порядка (ТВМП2) с использованием базисного набора 6—31 ГФ* изучена поверхность потенциальной энергии для р-ции вз-вия аммиака с дибораном, приводящей к образованию аминоборана $H_2B=NH_2$. Энергии стационарных точек уточнены расчетами в рамках ТВМП четвертого порядка в базисе 6—31+ГФ(2d,p). Показано, что на начальной стадии бимолек. присоединение NH_3 к B_2H_6 приводит к образованию льюисовского аддукта $NH_3(BH_3)_2$, к-рый изоструктурен B_2H_7 . Энергия связи в нем равна 4,7 ккал/моль. Предсказаны частоты колебаний и их интенсивности в этом аддукте, к-рые будут способствовать эксперим. идентификации этого аддукта. Энергия активации для мономолек. отщепления H_2 очень велика и поэтому исследованная р-ция протекает либо по бимолек. механизму, либо под действием катализатора. Сопоставле-

и. 1.

Х. 1993, № 1

ны рассчитанные и измеренные частоты колебаний для
 H_2B-NH_2 , H_3UNH_3 , метилир. пр-ных $H_2B-N(H)CH_3$ и H_3BNH_2-
 CH_3 и μ -аминодиборана.

И. Н. Сенченя

сходи
та.

$BH_3 \cdot NH_3$

1992

Røegger Inge.

Chem. Phys. 1992. 162,
N^o-3. C. 271-284.

sp.n.

(see  $BH_3 \cdot CO$; III)

BH_2Y

BF_2Y

$Y = NH_2, NO_2,$

$PH_2, CO_2^-, CHO,$

$OH, CH_3SiH_3NH_3^+$

~~NO₂ CO₂ CHO~~

Di, chelate

incop. racem

$BH_2NH_3^+$, BH_2NH_2 , BH_2NO_2

121: 264108c Ab initio SCF and MP2 study of the equilibrium geometry and vibrational spectrum for methyleneaminoborane and BH_2Y and BF_2Y ($Y = NH_2, NO_2, PH_2, CO_2^-, CHO, OH, CH_3, SiH_3, NH_3^+$) molecules. Spoliti, Maurizio; Ramondo, Fabio; Bencivenni, Luigi (Dipartimento di Chimica, Universita degli Studi di Roma, 00185 Rome, Italy). *Folia Chim. Theor. Lat.* 1992, 20(4), 201-21 (Ital). This study reports the results accomplished from the HF-SCF and MP2 levels to describe the mol. geometries, vibrational frequencies and relative stabilities of metileneaminoborane and of BH_2Y and BF_2Y species ($Y = NH_2, NO_2, PH_2, CO_2^-, CHO, OH, CH_3, SiH_3, NH_3^+$). The π bonding effects have been studied from the comparison between the MP2 geometries of the stable structures and those of suitable non-planar models.

(19) 25

C.A. 1994, 121, N22

$B-NH_2$

1992

Volatron F.,
Demacky I.

Chem. Phys. Lett. 1992,
198 (3-4), 253-8.

ab initio
paarēm
spaus.
konrep.
 $B-X$ cbs34

(cer. $B-OH$; III)

BH₂NH₂

1993

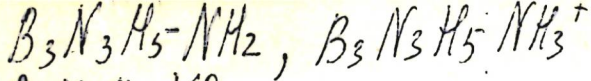
119: 168092f Theoretical studies of boranamine and its conjugate base. Comparison of the boron-nitrogen and boron-phosphorus π bond energies. Allen, Thomas L.; Fink, William H. (Dep. Chem., Univ. California, Davis, CA 75616 USA). *Inorg. Chem.* 1993, 32(20), 4230-4 (Eng). To answer questions about the relative strengths of the B-N and B-P π bonds the authors investigated mol. geometries, energies, dipole moments, normal vibrational modes, and harmonic vibrational frequencies of BH₂NH₂ and BH₂NH⁻ by ab initio methods using basis sets of high quality. Several disagreements in the literature on the interpretation of the BH₂NH₂ IR absorption spectrum were resolved. The aminoborane has two rotational transition states, one of C₂ symmetry at 32.4 kcal/mol above the planar ground state and one of C_{2v} symmetry at 37.9 kcal/mol. The former has a BNH angle of 110.5° and an out-of-plane angle at N of 55.4°. Surprisingly, it is the d orbitals of the N atom that give the C₂ transition state its lower energy and its approx. tetrahedral geometry at N. The BH₂NH⁻ anion has planar geometry and a BN bond length of 1.366 Å. It has an inversion transition state at 20.8 kcal/mol above the ground state, but it has no rotational transition state. Finally, a comparison of BH₂NH₂ and BH₂PH₂ shows that the B-P π bond is stronger than the B-N π bond (40.5 vs. 37.9 kcal/mol); these bonds are overwhelmingly of pr-pr type.

CARYENYPA,
Heppel,
M, Di

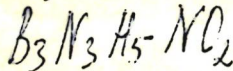
(ii) B

C. A. 1993, 119, IV 16

BH₂PH₂



1993



at initio
pacem
copyknyp-
raparantf.)

Di

(18)

120: 62896b HF-SCF study of the ground state geometry and harmonic vibrational frequencies of borazine derivatives. Ramondo, F.; Portalone, G.; Colapietro, M.; Benedivanni, L. (Dip. Chim., Univ. Roma, I-00185 Rome, Italy). THEOCHEM 1993, 102, 85-99 (Eng). The results of ab initio HF-SCF calcs. of the B-monosubstituted borazine derivs. $B_3N_3H_5X$ ($X = NH_2, NO_2, F, Cl, CN, NC, OH, N_3^+, CCH_3, CHO, CH_3, NH_3^+$ and SiH_3) are reported. The equil. geometries of the mols. were detd. from gradient optimizations carried out employing the 6-31G* and 6-31G** basis sets. HG/6-31G* level calcs. of disubstituted and trisubstituted F and Cl borazine derivs. and of trimethylborazine are included. The effects of the substituents on the geometry of the borazine ring were investigated. Vibrational frequencies were calcd. for some B-monosubstituted mols. and the splittings of the degenerate modes of borazine due to symmetry lowering occurring in the B-monosubstituted mols. were examd.

c.a. 1994, 120, N 6

NH₃ · BH₃

1994

11 Б1042. Сравнительное исследование структуры и энергий связывания для аддуктов AH_3EH_3 ($A=B$, Al , Ga , In ; $E=N$, P , As). A comparative study of structures and binding energies for AH_3EH_3 adducts ($A=B$, Al , Ga , In ; $E=N$, P , As) /Chaillet Max, Dargelos Alain, Marsden Colin J. //New J. Chem. —1994 .—18 , № 6 .—С. 693—700.—Англ. ;рез. фр.

*Структура,
энергии
связывания*

Неэмпирическим методом ССП, а также с учетом электронной корреляции в рамках теории возмущений Меллера—Плессета второго порядка с использованием псевдопотенциала для остаточных электронов и базисов двухэкспонентного типа, дополненного поляризац. ф-циями, для валентных электронов изучено электронное и геометрич. строение 12 аддуктов типа AH_3EH_3 ($A=B$, Al , Ga , In ; $E=N$, P , As), содержащих акцепторные атомы третьей группы и донорные — пятой. Найдено, что учет корреляц.

(11)

NH_3



AlH_3 , $NH_3 \cdot GaH_3$,

X. 1995, N 11 $NH_3 \cdot InH_3$, $PH_3 \cdot BH_3$, $PH_3 \cdot AlH_3$

поправок приводит к укорочению длин связей A—E и временами к их заметному упрочнению. Рассчитанные энергии в-вия попадают в интервал от 141 (A=Al, E=N) до 37 (A=In, E=As) кДж/моль (соотв. 120 и 31 кДж/моль после учета ошибки суперпозиции базисного набора). В общем, энергии вз-вия уменьшаются с ростом размеров как акцептора, так и донора. Однако эти тенденции не являются регулярными, напр., NH₃ образует более прочные комплексы с AlH₃, чем с BH₃. Библ. 35.

И. Н. Сенченя





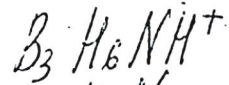
1994

Demachi I., Volatron F.

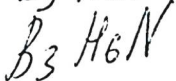
J. Phys. Chem. 1994. 98,
N^o2. p. 10728-10734.

et. n.

(ceci. $B_2 H_4$; II)



1994



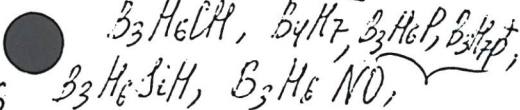
(Cmpylypa)

at initio
part

(+7)

C. A. 1994, 120, N 26

120: 331616m Pyramidal Structures with a B_3H_6 Ring. Possibility of Terminal Hydrogens opposite the Capping Group. Jemmis, Eluvathingal D.; Subramanian, G.; Srinivas, G. Naga (School of Chemistry, University of Hyderabad, Hyderabad, 500 134 India). *Inorg. Chem.* 1994, 33(11), 2317-19 (Eng). Ab initio MO studies on a series of pyramidal B_3H_6X structures ($X = NH^+, N, CH, BH^-, P, PH^+, SiH, NO, PO, Co(CO)_3$) indicate that, for structures where $X = NH^+, N$, and NO , the terminal hydrogens (H_t) of the basal B_3H_6 ring are toward the direction of the capping group. In contrast, the H_t 's are found to be away from the capping group for $X = CH, BH^-, P, PH^+, SiH, PO$, and $Co(CO)_3$. All structures except that of $B_4H_7^-$ are calcd. to be min. The six π interstitial electron rule for three-dimensional delocalization and the compatibility of orbitals that overlap are used to explain the structural and bonding preferences in these pyramidal mols.



$B_3\mu_cPO$, $B_3\mu_cCo(CO)_3$

H_3N-BH_3

1994

Jonas Volker, Frenking
Bennet, et al.

DOI(298) J. Am. Chem. Soc. 1994,
116 (19), 8741-53.

(See  $OC-BH_3$; II)

$(BH-NH)_3$

??

1994

121: 308749u Stabilities and Energetics of Inorganic Benzenes Isomers: Prismanes. Matsunaga, Nikita; Gordon, Mark S. (Department of Chemistry, Iowa State University, Ames, IA 50011-3111 USA). *J. Am. Chem. Soc.* 1994, 116(25), 11407-19 (Eng). Ab initio calcns. of inorg. prismanes, with the formula $(XH-YH)_3$, where X = B, Al, and Ga and Y = N, P, and As, as well as X or Y = C, Si, and Ge, were carried out. Energetics of these species are compared with those of the planar benzene analog and chair/boat conformers. The prismane and planar structures contg. first period elements (B, C, and N) are all stable (i.e. min. on the potential energy surfaces). Chair and boat conformers are potential energy min. only in compds. contg. second or fourth period elements. For the species with a first period element in the 1, 3, 5 positions, the planar benzene-like structure is the global min.; otherwise, the planar structure is not a min. The lowest min. found is the prismane arrangement for Si_6H_6 and Ge_6H_6 and the chair structure for $Si_3Ge_3H_6$. Other mols. have distorted min.

ab initio
prismane
C_nH_{2n}K_{2n}P_n
all chair conformers

C.A. 1994, 121, n26

$BH_3 NH_3$

1995

Baenschlicher Ch.W., Jr,
Ricea A.

Chem. Phys. Lett.
1995, 237(1,2), 14-19.

($C_{60} BH_3 CO$; III)

нроп.
пачен
тиерзес
бл. 854;
Еліївка).

1995

F: B₂NH₃

P: 3

8Б149. Соединения бора с анти-геометрией вант Гоффа/Ле Беля.
Теоретическое исследование классических и неклассических изомеров
B[2]CH[4], B[2]NH[3] и B[2]OH[2]. Anti van't Hoff/Le Bel geometries of
boron compounds. A theoretical study of classical and nonclassical isomers
of B[2]CH[4], B[2]NH[3] and B[2]OH[2] / Fau Stefan, Frenking Gernot // J.
Mol. Struct. Theochem. - 1995. - 338. - С. 117-130. - Англ.

Неэмпирическим методом ССП МО ЛКАО в базисах до 6-311ГФ(2df,
2pd) с учетом электронной корреляции в рамках МП4 исследована
поверхность потенциальной энергии B[2]CH[4], B[2]NH[3] и B[2]OH[2].
Найдено четыре, шесть и три равновесных изомера соответственно.
Электронное строение систем изучено с помощью топологич. анализа
распределения электронной плотности и соответствующих градиентов и
лапласиана.

Р. Ж.Х. №8, 1996

1995

F: B₂NH₃

P: 3

8Б149. Соединения бора с анти-геометрией вант Гоффа/Ле Беля. Теоретическое исследование классических и неклассических изомеров B[2]CH[4], B[2]NH[3] и B[2]OH[2]. Anti van't Hoff/Le Bel geometries of boron compounds. A theoretical study of classical and nonclassical isomers of B[2]CH[4], B[2]NH[3] and B[2]OH[2] / Fau Stefan, Frenking Germot // J. Mol. Struct. Theochem. - 1995. - 338. - С. 117-130. Англ.

эмпирическим методом ССП МО ЛКАО в базисах до 6-311ГФ(2df, 2pd) с учетом электронной корреляции в рамках МП4 исследована поверхность потенциальной энергии B[2]CH[4], B[2]NH[3] и B[2]OH[2]. найдено четыре, шесть и три равновесных изомера соответственно. Электронное строение систем изучено с помощью топологич. анализа распределения электронной плотности и соответствующих градиентов и лапласиана.

Х. 1996, № 8

Om. 38234

1995



Martin Leboeuf,
Nino Russo et al.,

mon.

справка.

Konifor. J. Chem. Phys., 1995, 103(17),

засори,

No, Vsp. 7408 - . . .

A density functional study
of borane and alane

monoammoniate.

BH₃NH₃

F: BH₃NH₃

P: 3

1995

06.Д.0137. Исследование методом ССП с учетом электронной корреляции структуры, силовых постоянных и колебательных спектровmonoаммиачного комплекса борана. SCF and electron correlation studies on structure, force constants and vibrational spectra of borane monoammoniate complex / Vijay Amrendra, Sathyanaugayana D. N. // Chem. Phys. - 1995. - 198, N 3. - C. 345-352. - Англ.

эмпирическим методом ССП MO ЛКАО в базисах от двухэкспонентного до трехэкспонентного с включением поляризационных и диффузных ф-ций и с учетом электронной корреляции по МП2 и КВ рассчитаны равновесная геометрия, силовые постоянные и колебательные спектры BH[3]NH[3]. Учет корреляции существенно улучшает завышаемые в ССП длины связей B-N. Колебательные частоты отличаются от эксперим. значений на 10% при использовании ССП и на 5 - 6% при использовании МП2. Получены хорошие значения частот и интенсивностей для изотопозамещенных.

X. 1996, N 6

1996

F: B₂(NH₂)₄

P: 3

13Б143. Теоретическое изучение сопряжения, сверхсопряжения и стерических эффектов в B[2]D[4] (D=H, F, OH, NH[2] и CH[3]). Theoretical study of conjugation, hyperconjugation, and steric effect in B[2]D[4] (D=H, F, OH, NH[2], and CH[3]) / Mo Y., Lin Z. // J. Chem. Phys. - 1996. - 105, N 3. - C. 1046-1051. - Англ.

Неэмпирическим методом ССП в базисе 6-31ГФ{*} исследовано электронное строение B[2]X[4], X=H, F, OH, NH[2], CH[3]. Обсуждены вклады эффектов сопряжения, сверхсопряжения и стерич. эффектов в барьеры вращения групп BX[2]. При этом проведены расчеты с включением в рассмотрение 'пі'-орбиталей атомов B и без их учета.

РМХ 1997

$B_2(NH_2)_4$

1996

He, Yizong;
Xin, Zhengang.

part of

facultative,

CNQ-PA,

MeOPnM.

OCEREM.

J. Chem. Phys., 1996,
105(3), 1046-57



(c.u. $B_2H_4; \overline{II}$)

$\text{HB}(\text{NH}_2)_2$

1996

22Б179. Теоретическое изучение равновесной структуры, гармонического силового поля и колебательных спектров диаминборана. Влияние базиса и электронной корреляции.
Theoretical investigation of equilibrium structure, harmonic force field and vibrational spectra of borane diammine: Effects of basis set and electron correlation / Vijay Amrendra, Sathyanarayana D. N. // J. Mol. Struct.— 1996.— 375, № 1-2.— С. 127–141.— Англ.

М.Н.



Х.1997, №22

$\text{BH}(\text{NH}_2)_2$

1996

124: 186102s Theoretical investigation of equilibrium structure, harmonic force field and vibrational spectra of borane diammine: effects of basis set and electron correlation. Vijay, Amrendra; Sathyaranayana, D. N. (Department of Inorganic and Physical Chemistry, Indian Institute of Science, Bangalore, 560 012 India). *J. Mol. Struct.* 1996, 375(1-2), 127-41 (Eng). The equil. structure, harmonic force field and vibrational spectra of borane diammine, $\text{BH}(\text{NH}_2)_2$, have been investigated with the aid of SCF, MP2 and QCISD methods, applying a basis set of DZ + P quality. The effects of a larger basis set (TZ + 2P) including diffuse and higher order polarization functions on the computed mol. structure, harmonic force consts., vibrational frequencies and IR band intensities of $\text{BH}(\text{NH}_2)_2$ have also been studied at the SCF as well as the MP2 level of approxn. The vibrational anal. of $\text{BH}(\text{NH}_2)_2$ and several of its isotopomers has been carried out using the GF matrix method. The predicted frequency for NH_2 wagging is very sensitive to the method of calcn.; however, the predicted band intensity remains nearly unaffected.

Q.A. 1996, 124, N 14

H_2BNH_2

1997

129: 86282k Internal rotation of H_2BNH_2 molecule. Minyaev, R. M.; Lepin, E. A. (Nauchno-Issled. Inst. Fiz. Org. Khim., Rostov. Gos. Univ., Rostov-on-Don, Russia). *Zh. Fiz. Khim.* 1997, 71(8), 1449-1453 (Russ), MAIK Nauka. The authors used the MP2(fc)/6-31G^{**} method to study the topol. of the potential surface of aminoborane detg. internal-rotation stationary points and orthogonal trajectories (gradient field). The internal rotation of H_2BNH_2 can be described by 2 equiv gradient lines and is two dimensional.

C.A. 1998, 129, a 4

H₂BNH₂

1997

..... Wales D.Y. et al.,

roperer.
nomous.
freemur

J. Phys. Chem. 1997, A101(7)



(all ·PF₅; III)

ByH_8N^+

1997

Wu, Hai-Sun; et al.,

cnp-pa,
cmatunoff,
neopen.
pacem

Huaxue Huefao 1997,
55(2), 1185-90.

(all. ByH_8) (III)

B₃N₃H₆

1998

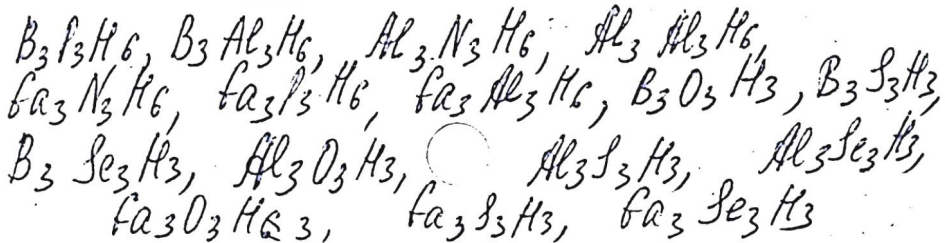
128: 262187y Aromaticity in X₃Y₃H₆ (X = B, Al, Ga; Y = N, P, As), X₃Z₃H₃ (Z = O, S, Se), and Phosphazenes. Theoretical Study of the Structures, Energetics, and Magnetic Properties. Jemmis, Eluvathingal D.; Kiran, Boggavarapu (School of Chemistry, University of Hyderabad, Hyderabad, 500 046 India). *Inorg. Chem.* 1998, 37(9), 2110–2116 (Eng), American Chemical Society. A systematic estn. of aromaticity in X₃Y₃H₆, 1, (X = B, Al, Ga; Y = N, P, As), P₃N₃H₆, 2, and X₃Z₃H₃, 3 (Z = O, S, Se), was conducted using structural, energetic, and magnetic criteria. Ests. based on arom. stabilization energy (ASE) calcs. predict that 1BN (1; X = B, Y = N) and 1BP are equally arom. Contrary to this, magnetic susceptibility exaltation (MSE) and nucleus independent chem. shift (NICS) data at the B3LYP/6–31G* level indicate that 1BN is not arom. while 1BP is. This finding emphasizes the fact that energetic and magnetic criteria need not be parallel. On the basis of MSE and NICS values, all 1XP compds. show strong arom. character; 1XAs are borderline arom. while 1XN compds. are nonarom. Despite being arom., all 1XP and 1XAs compds. are found to prefer nonplanar geometries. MSE and NICS criteria can also diverge quite strongly; this was obsd. in the X₃Z₃H₃ family. MSE values for 3BS, 3BSe, 3AlO, 3AlS, and 3GaS are more than half of the MSE value for benzene, indicating substantial arom. character. However, NICS ests. point to the contrary; none of the type 3 compds. are arom. The problem with the ASE and

open
paren
CPL Th,
closed
paren

HB

C.A. 1998, 128, N21

MSE is that both depend on the choice of the ref. systems while NICS, which avoids the need for ref. mols., is impossible to vary exptl. In spite of this deficiency of NICS, it is complementary to the ASE and MSE criteria. Despite the existence of a large no. of well-established structures and substantial arom. stabilization energy, phosphazenes, 2, are not arom. according to NICS data.



$B_n(NH_2)_n$

$n=4-6$

1999

McKee, Michael L.,

Inorg. Chem. 1999, 38(2),
CNP-PA,
CMASUNBH,
MEOP-PATENT 321-330

(all- B_nH_n , III)

F: B3N3H6

P: 3

2001

135:11612 High-resolution FTIR spectroscopy of borazine: The parallel bands ν_8 and ν_9 of 10B314N31H6. Huober, J.; Pfeffer, M.; Ruoff, A. Sektion Schwingungsspektroskopie, Universitat Ulm, Ulm, Germany. Z. Anorg. Allg. Chem. (2001), 627(4), 589-593 in English.

The high-resoln. (0.002 cm⁻¹) FTIR spectra of A"2-fundamental bands ν_8 and ν_9 of 10B314N31H6 were investigated for the first time. Both fundamental bands show a typical parallel band structure, thus confirming the D3h symmetry of the mol. under consideration. While ν_9 is unperturbed at the present level of precision, ν_8 is heavily perturbed, probably by an α BB-resonance with the IR-forbidden combination tone $\nu_{10} + \nu_{17}$. The mol. consts. of the ground state and of the states $\nu_8 = 1$ and $\nu_9 = 1$, resp. are given.

2001

$B_4N_4H_4$

135: 112254y Structure and stability of $X_4Y_4H_4$ ($XY = CC, BN$).
Yin, Ping; Chen, Xian-Yang; Li, Chong-De; Xin, Xin-Quan (State Key Laboratory of Coordination Chemistry, Department of Chemistry, Nanjing University, Nanjing, Peop. Rep. China 210093). *Int. J. Quantum Chem.* 2001, 82(6), 293–298 (Eng), John Wiley & Sons, Inc. Ab initio calcns. were carried out to study the structures and relative stabilities of the planar eight-membered ring $B_4N_4H_4$ and its isoelectronic species C_8H_4 at the HF/6–31G*, MP2/6–31G*, MP2/6–311G**, and MP4SDQ/6–31G* levels. The anal. of Mulliken populations, vibration frequencies, π -MO components, and orbital energy levels were used to evaluate the relative stabilities of these two similar systems. The homodesmotic reactions were also taken to be a useful index of relative stability for $X_4Y_4H_4$ ($XY = CC, BN$) and gave the resonance energies with MP4SDQ/6–31G* of C_8H_4 (-37.2 kcal/mol) $<$ $B_4N_4H_4$ (-29.2 kcal/mol). We calcd. the thermodyn. functions of these reactions to discuss the influence of temp. $B_4N_4H_4$ may exist in theory and could be a little more stable than C_8H_4 .

meop. pacem
смукнуть и
сделать
Li, M.Q.

(+) C_8H_4

C.A. 2001, 135, N8